

# **Materiais Nanoestruturados à base de carbono: filmes finos e nanotubos**

Fernando Lázaro Freire Jr.  
Departamento de Física, PUC-Rio

**Laboratório de Revestimentos Protetores e  
Materiais Nanoestruturados**

**Ciência dos Materiais**

**Prof. Marcelo E. H. Maia da Costa**

**Dra. Marta Dotto**

**Estudantes de doutorado: Renato, Dunieskys e Pillar**

**Estudantes de IC: Fernando Henrique e Jorge**

## **Nanociência e Nanotecnologia:**

**-Top-Down**

**Miniaturização**

**- Bottom-up**

**Desenvolvimento de técnicas de análise e manipulação em escala atômica:**

- microscopia eletrônica de alta resolução**
- diferentes microscopias de varredura por sonda: STM, AFM, MFM, LFM, SNOM....**



© Copyright California Institute of Technology. All rights reserved.  
Commercial use or modification of this material is prohibited.

**“Os princípios da física, assim como eu os vejo, não falam contra a possibilidade de se fabricar objetos manipulando átomo a átomo. Isso não viola nenhuma lei. É uma coisa que, a princípio, pode ser feita; mas, na prática, ainda não foi realizado por sermos muito grandes.”**

**Richard Feynman, 1959**

**“There’s Plenty of Room at the Bottom”**

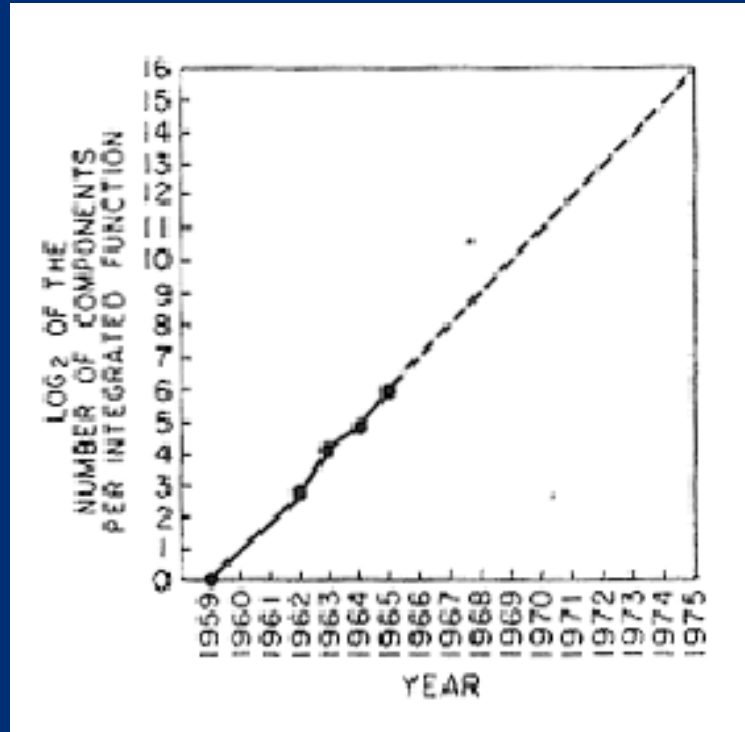
**Eng. Sci. 23 (1960) 22**

## **SHAPING THE WORLD ATOM BY ATOM**

**The emerging fields of nanoscience and nanoengineering are leading to unprecedented understanding and control over the fundamental building blocks of all physical things. This is likely to change the way almost everything—from vaccines to computers to automobile tires to objects not yet imagined—is designed and made.**

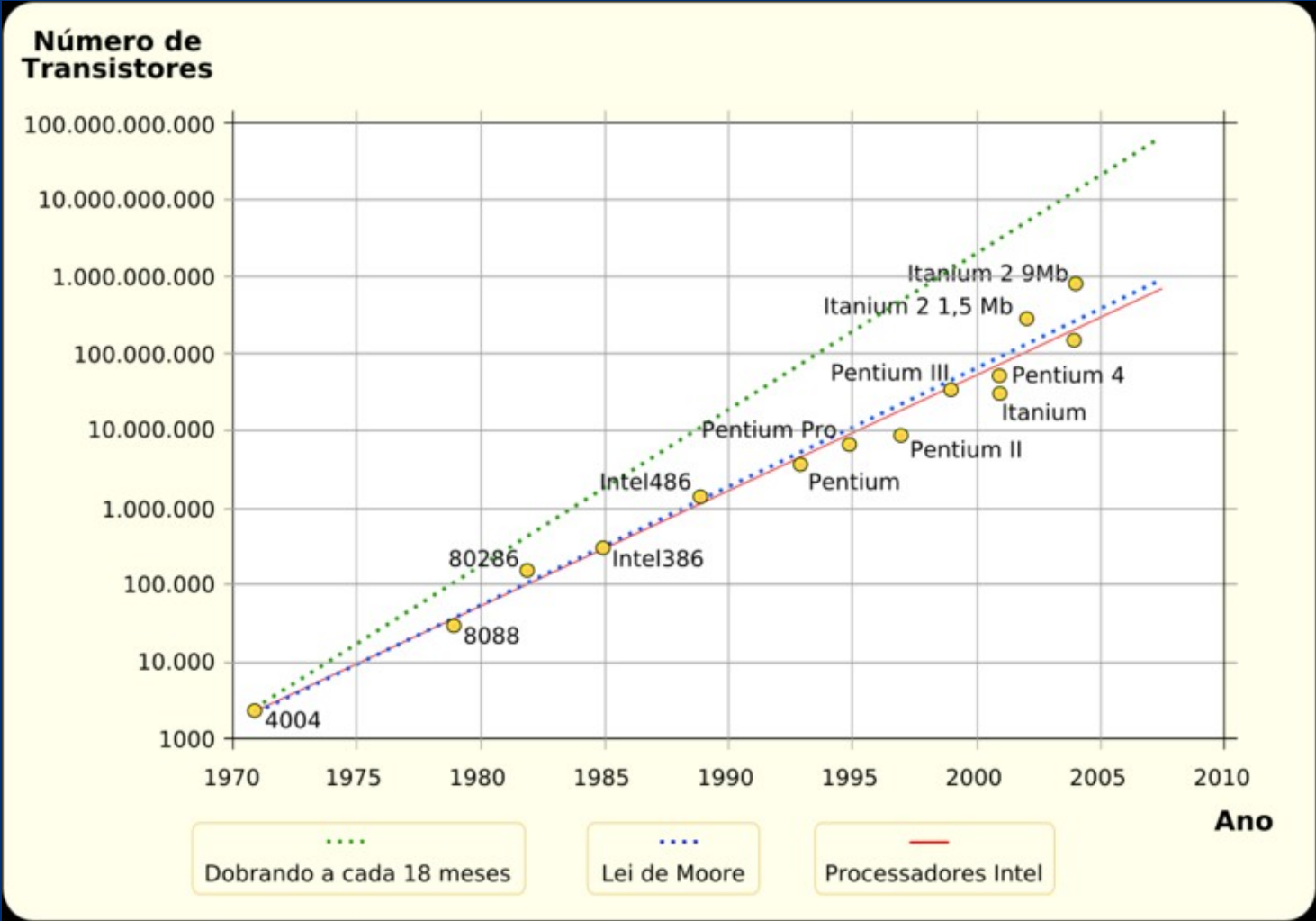
**National Nanotechnology Initiative (1999)**

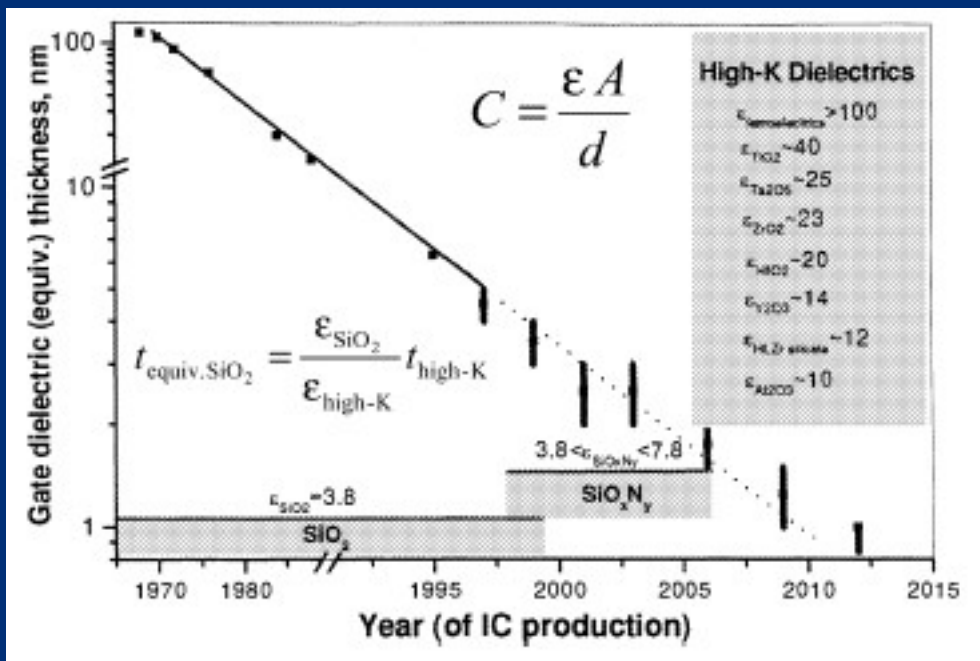
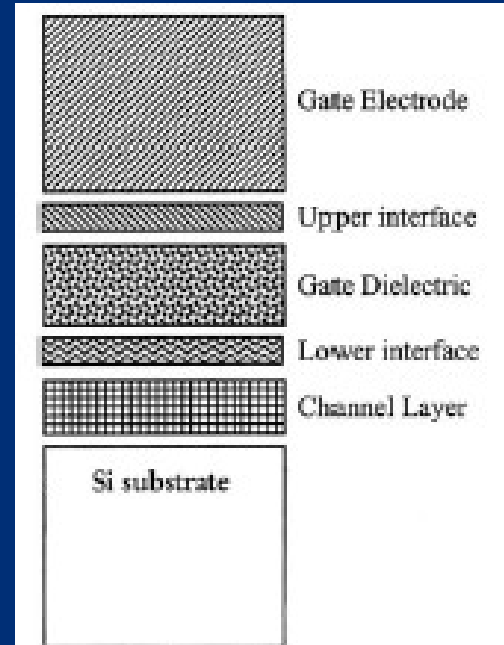
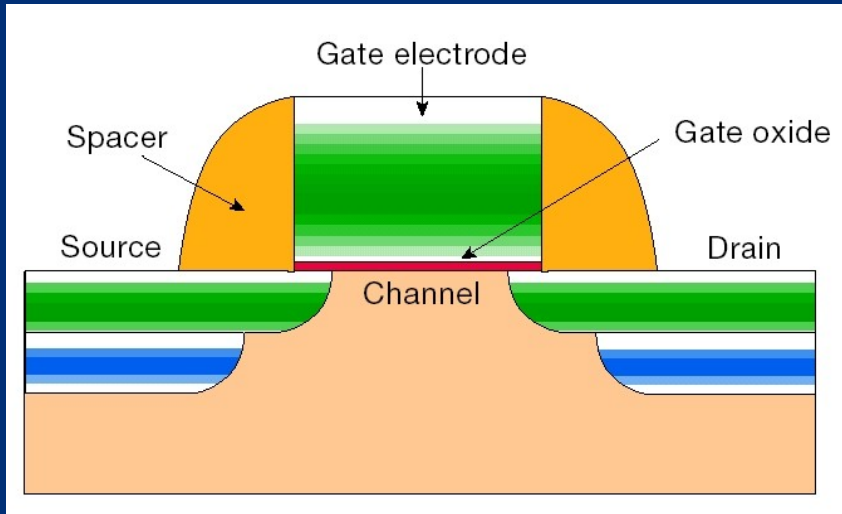
## Top-down: miniaturização



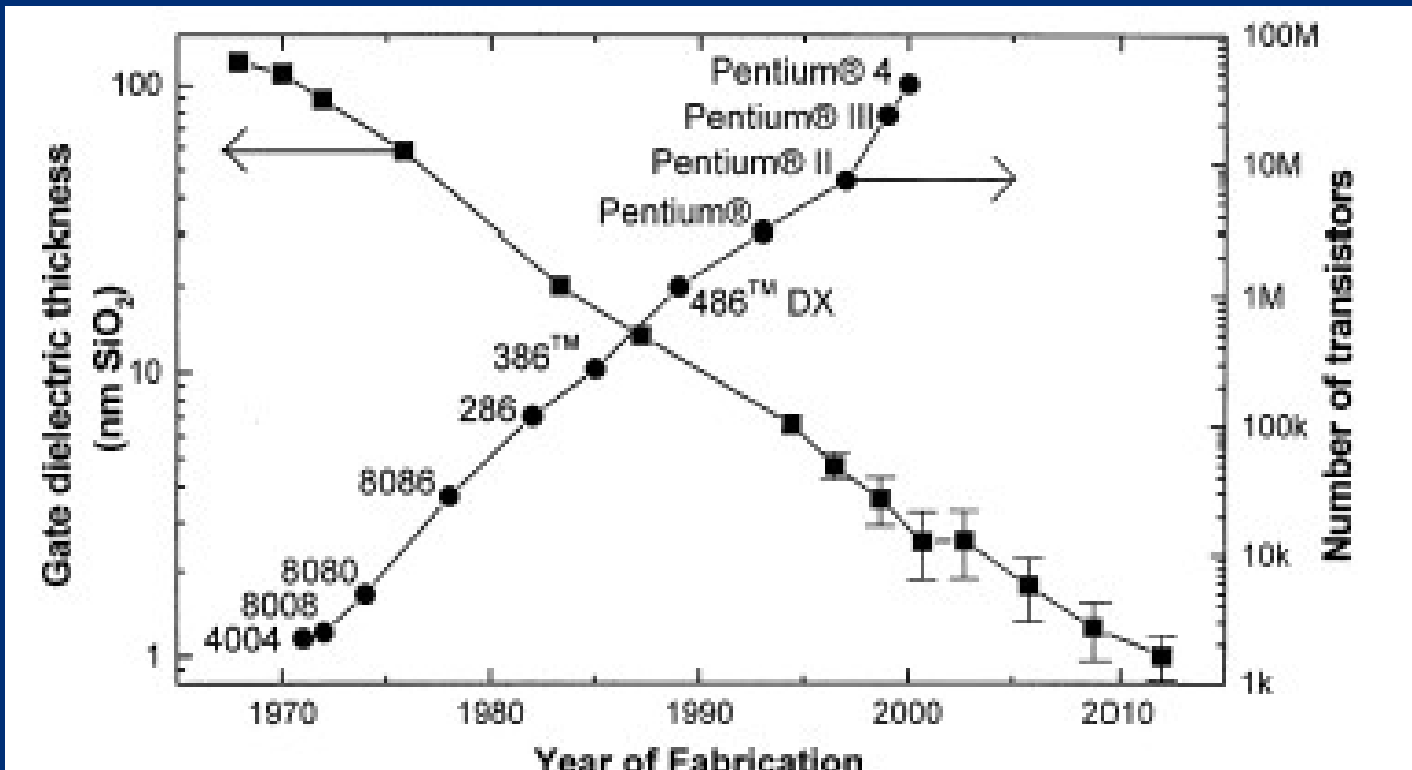
**Lei de Moore**

# Top-down: miniaturização





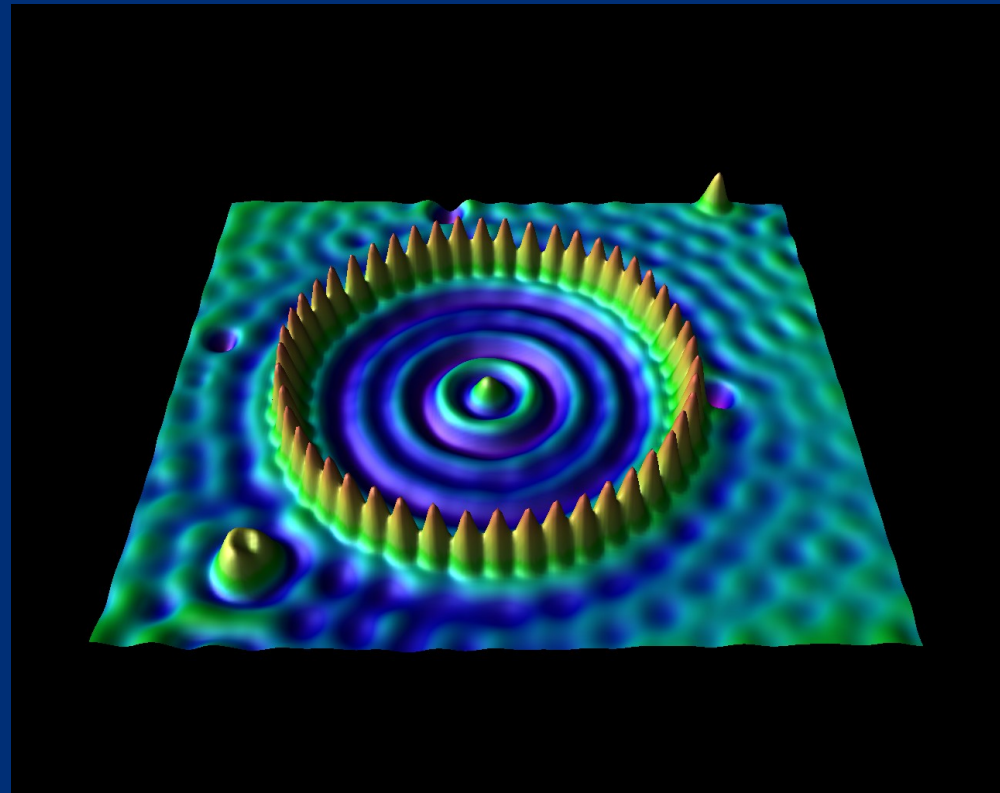
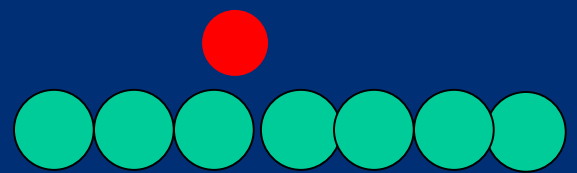
## High-K dielectrics



Lei de Moore

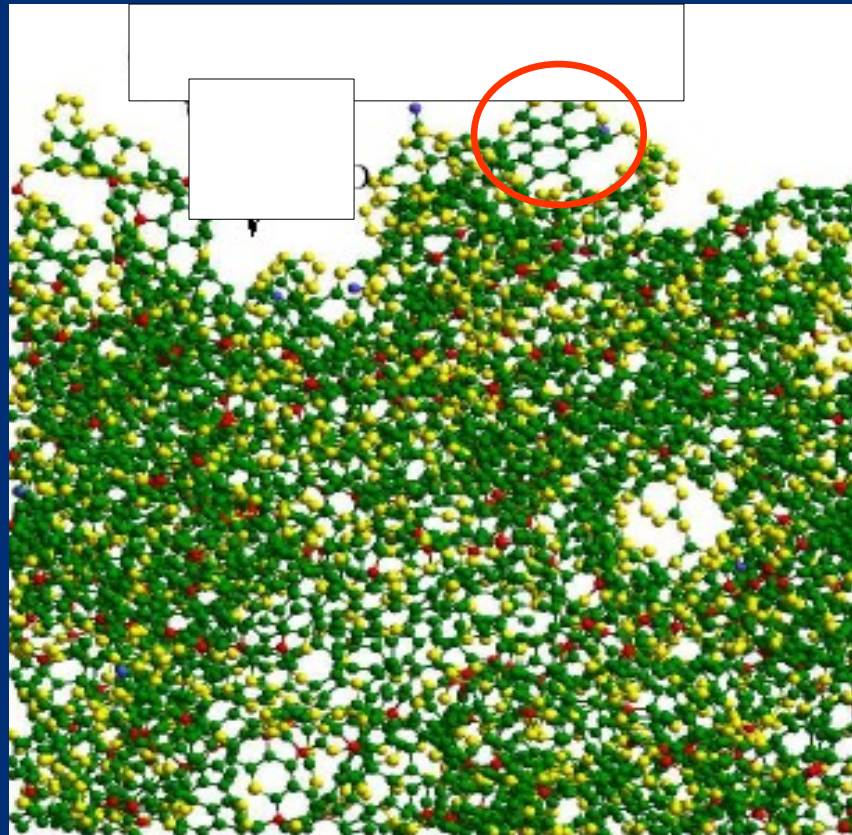
Óxido de Silício  
substituído por  
Óxido de Háfnio

# Manipulação atômica



Surface state electrons on Cu(111) were confined to closed structures defined by barriers built from Fe adatoms. The barriers were assembled by individually positioning Fe adatoms using the tip of a low temperature scanning tunneling microscope (STM). A circular corral of radius 7.1 nm was constructed in this way out of 48 Fe

**Filmes de carbono amorfo: clusters de carbono  $sp^2$  interligados por átomos de carbono  $sp^3$ , nanoporos e hidrogênio**



*Cluster  $sp^2$*

## Indústria Aeroespacial

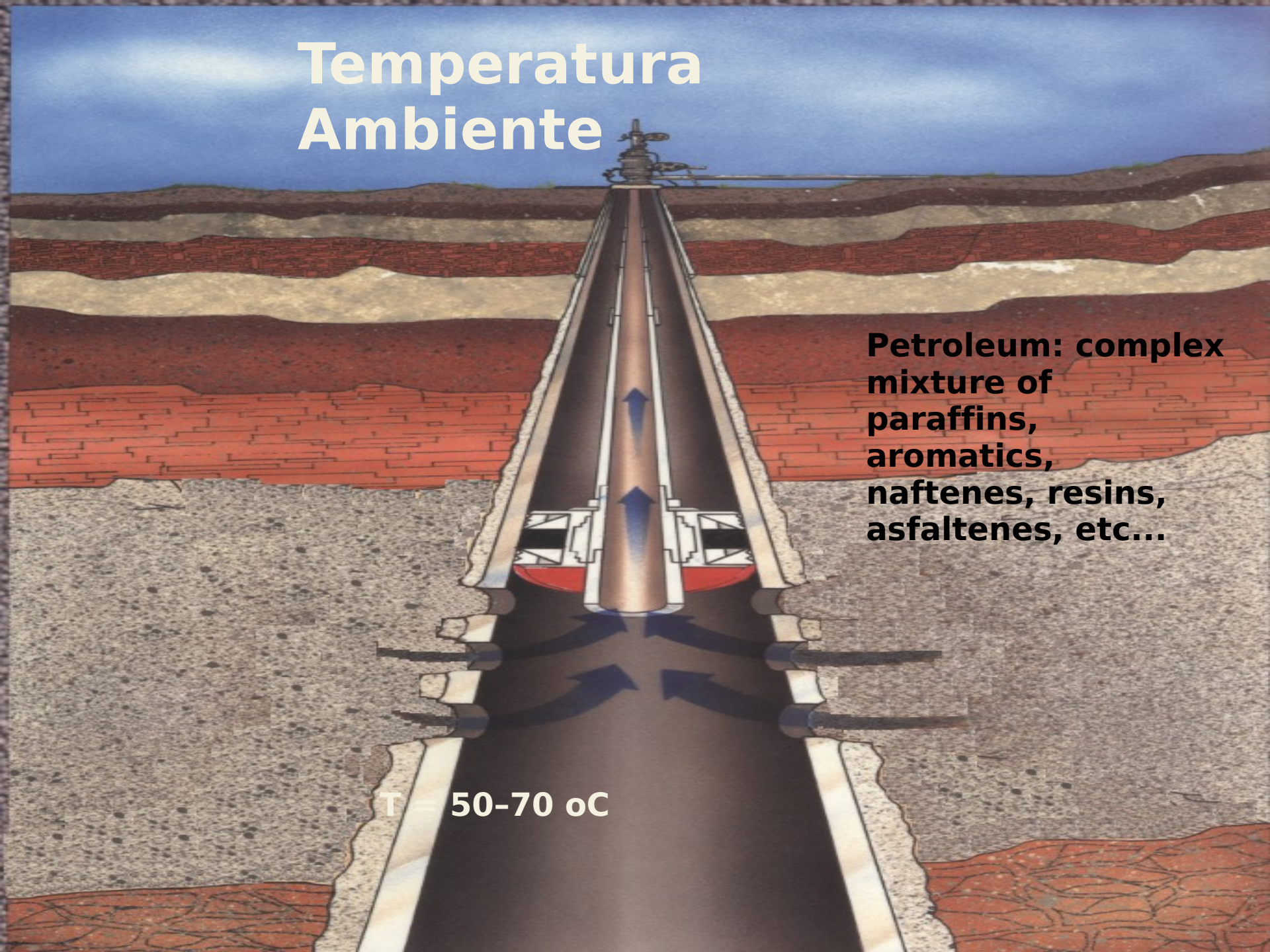


**Painéis solares: solda fria (Rede de Pesquisa em Revestimentos Nanoestruturados, INPE)**

# Temperatura Ambiente

**Petroleum: complex mixture of paraffins, aromatics, naftenes, resins, asfaltenes, etc...**

**T = 50-70 °C**



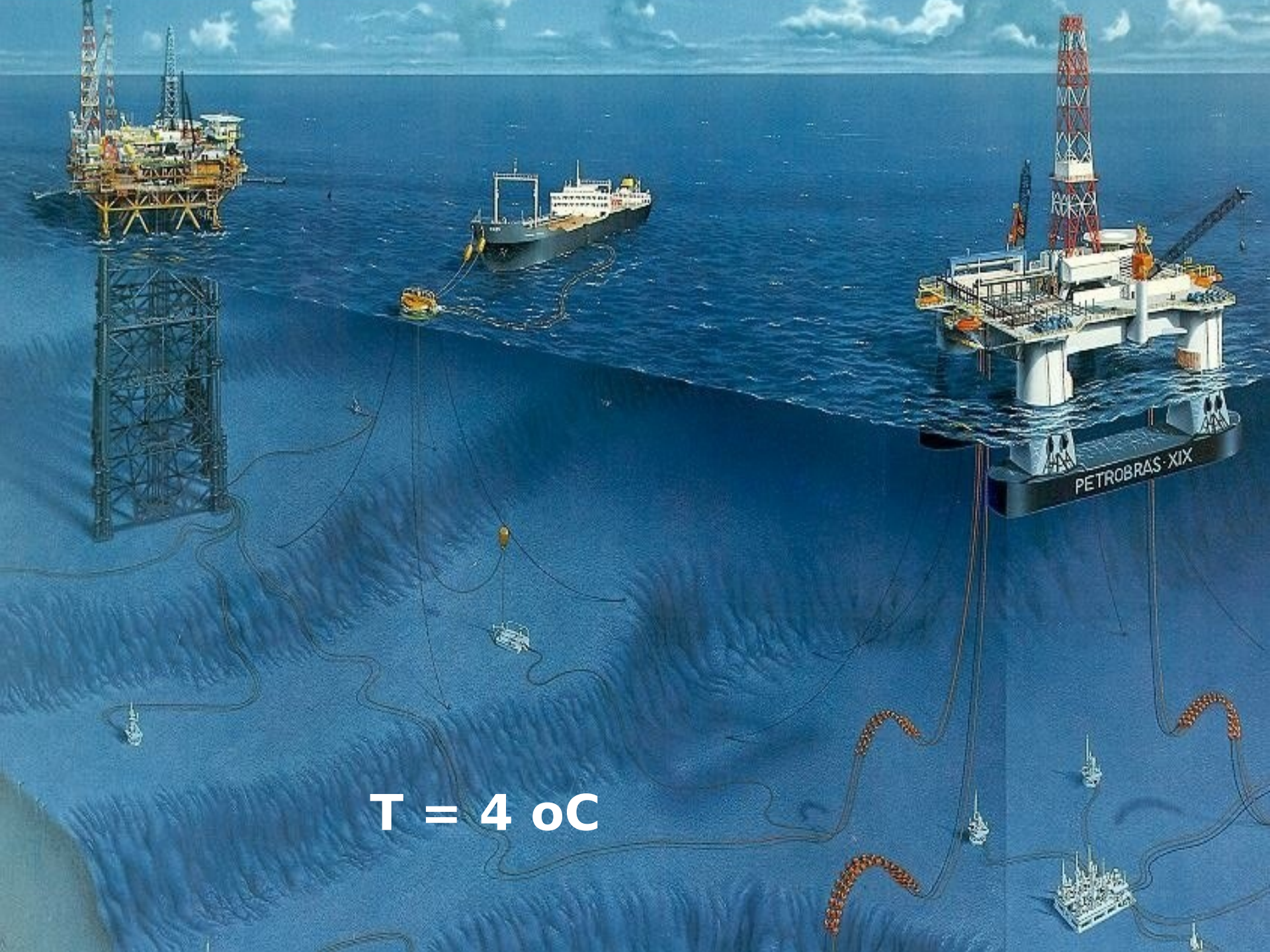


**Formação de depósitos de parafina**

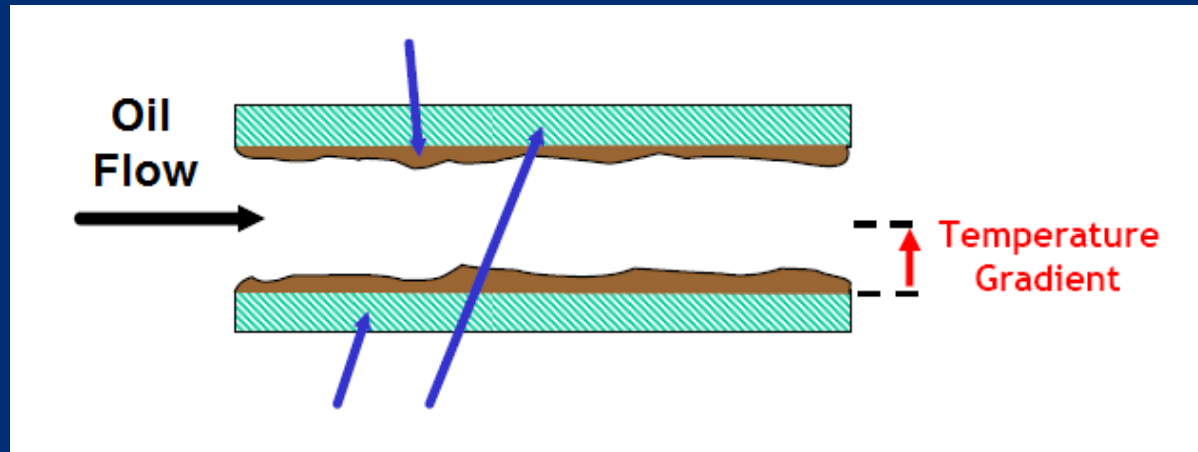


**Redução do fluxo, bloqueio de dutos,  
interrupção da produção**





$T = 4 \text{ } ^\circ\text{C}$



## Mechanismos de transporte e deposição da parafina:

- Difusão Molecular
- Movimento Brownian
- Gravidade

## Parametros Importantes:

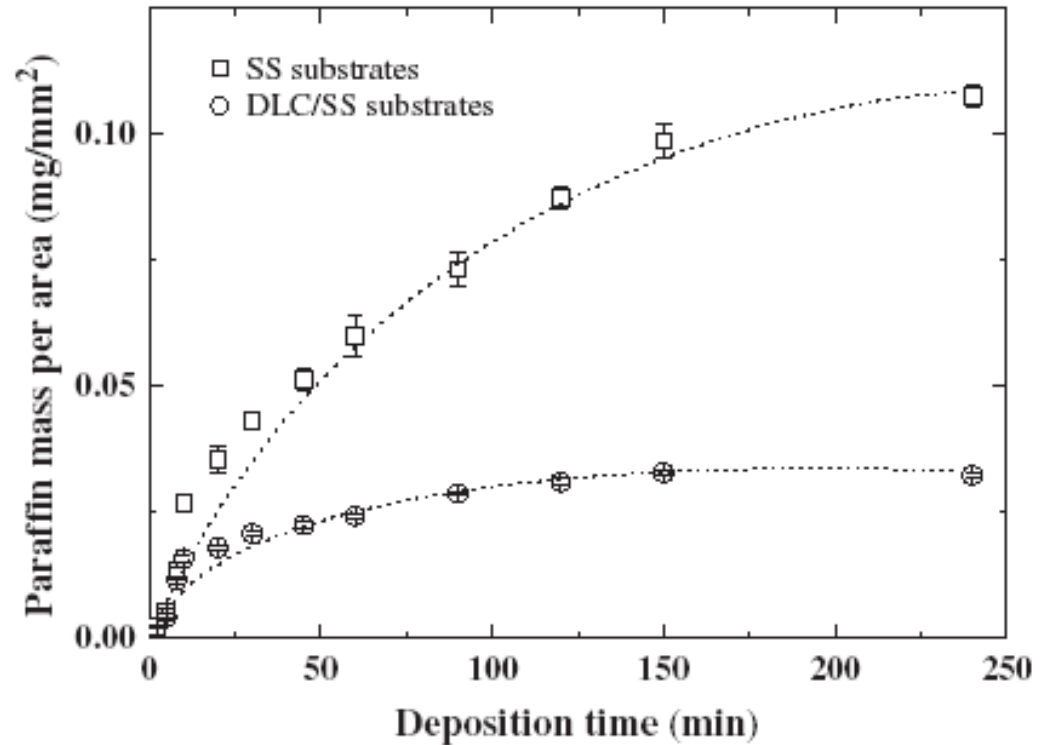
- Temperatura
- Pressão
- Fluxo
- Fluido multifásico

**Coating**

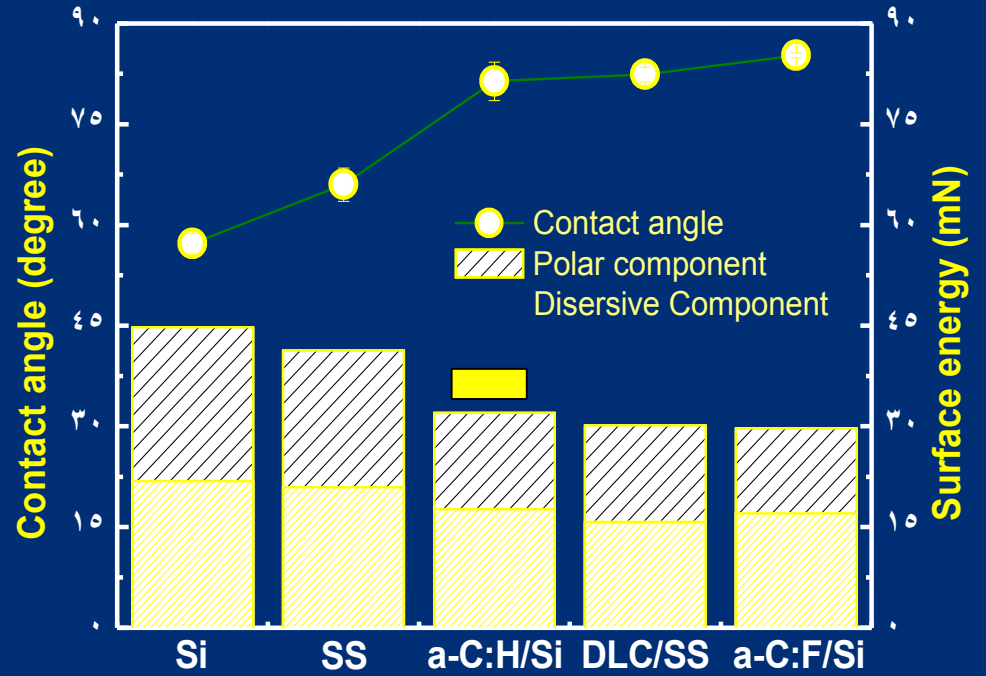
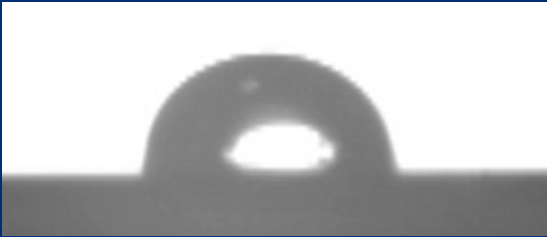
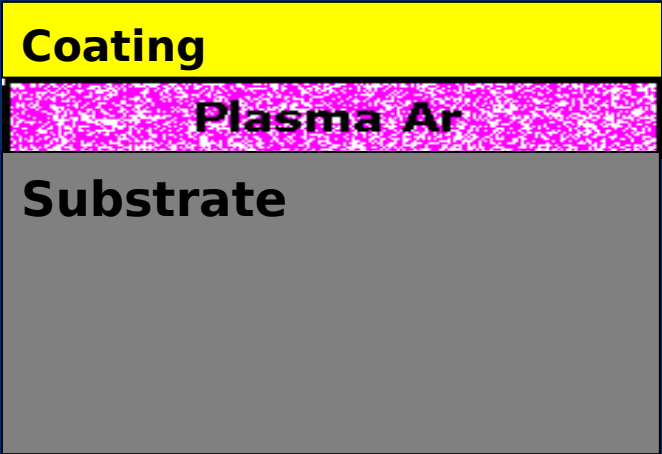
**Plasma Ar**

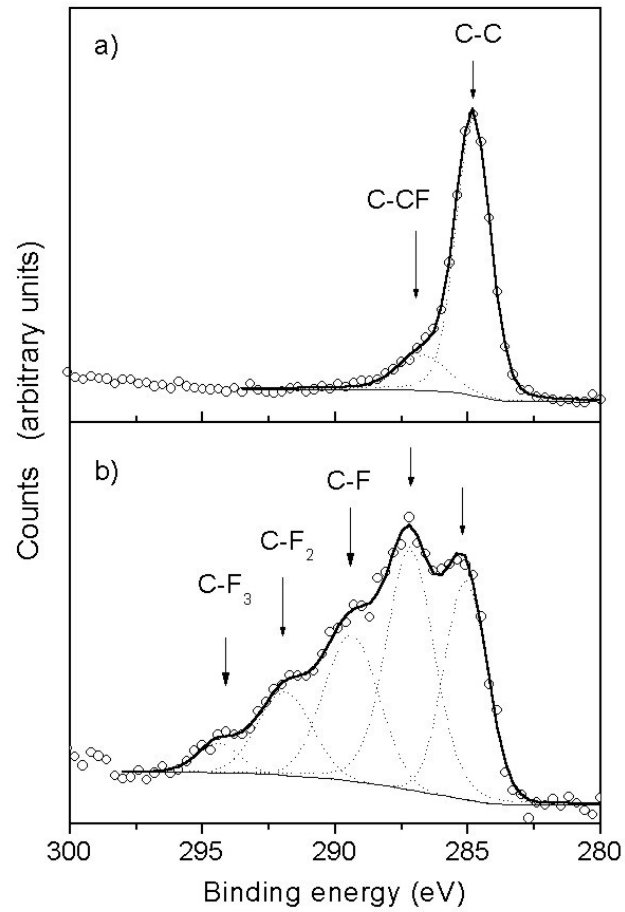
**Substrate**

← **a-C:H, rf-PECVD, CH<sub>4</sub>**



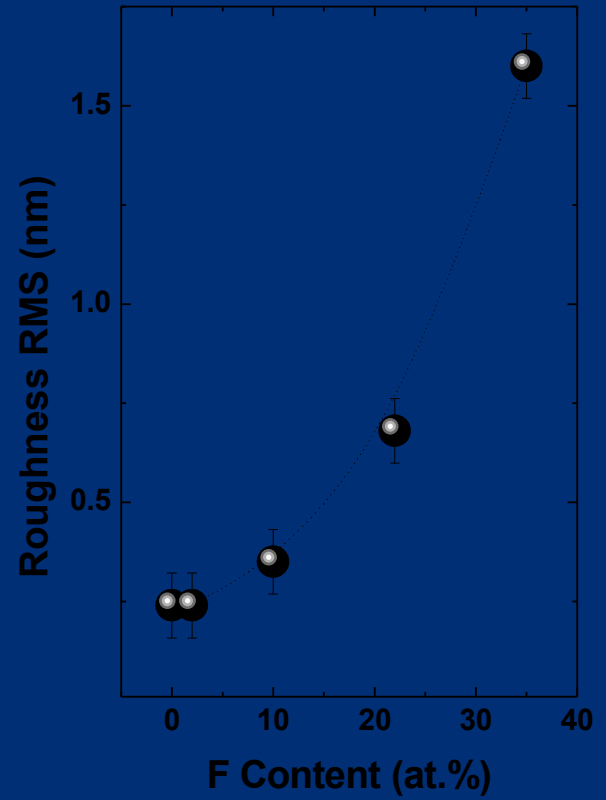
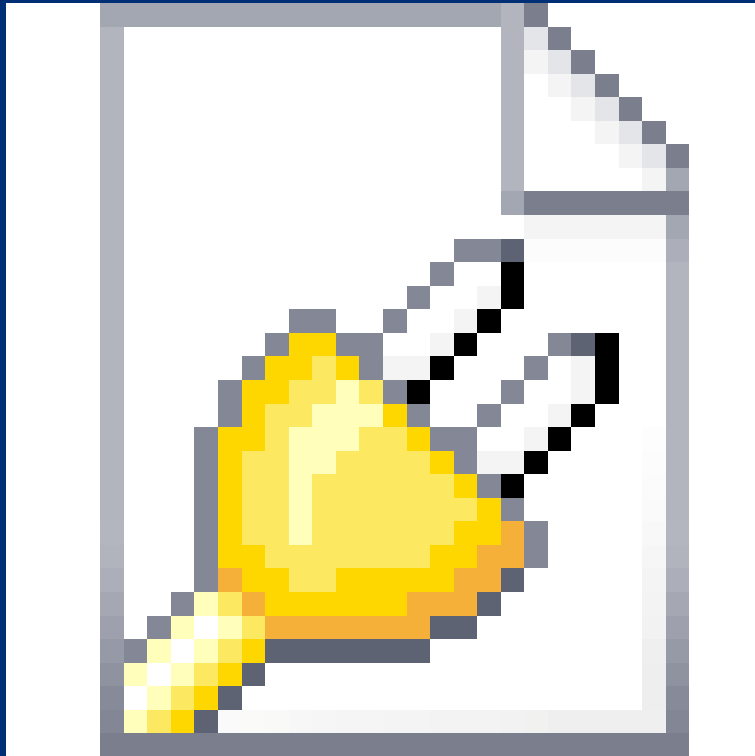
**M.E.R. Dotto et al, Surface and Coating Technology, 200 (2006) 6479**





**F = 10 at.%**

**F = 35 at.%**



**Ângulo de contato e rugosidade**

**Dureza**

**L.G. Jacobsohn et al., Diamond and Related Materials, 12 (2003)  
2037**

**Amostra: DLC depositado por rf-PECVD usando acetileno:**

**P = 3 Pa ; V<sub>b</sub> = -350V**

**H = 20 GPa**

**= 1.4 x 10<sup>23</sup> at/cm<sup>3</sup>**

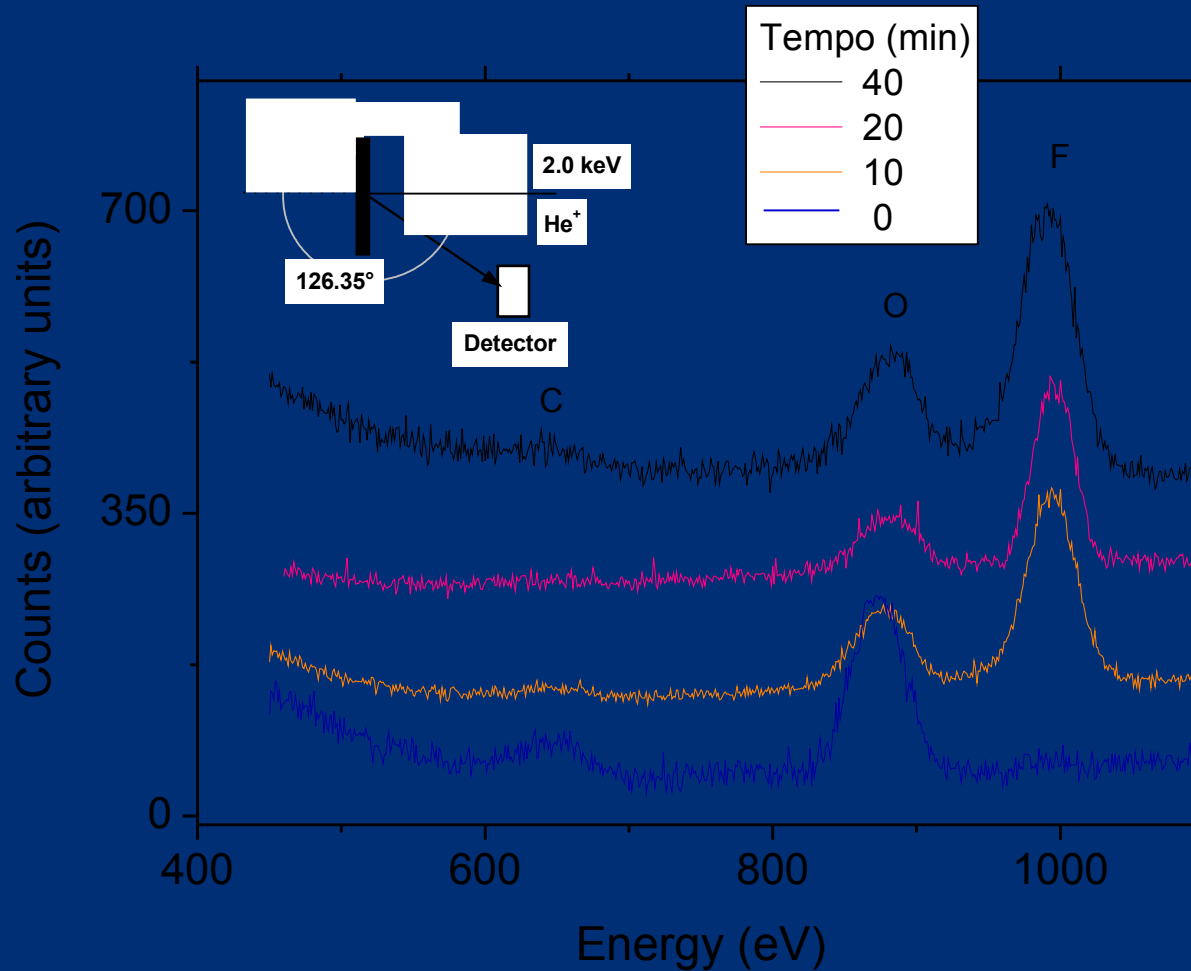
**Condições do tratamento por plasma**

**Atmosfera: CF<sub>4</sub> a 3 Pa**

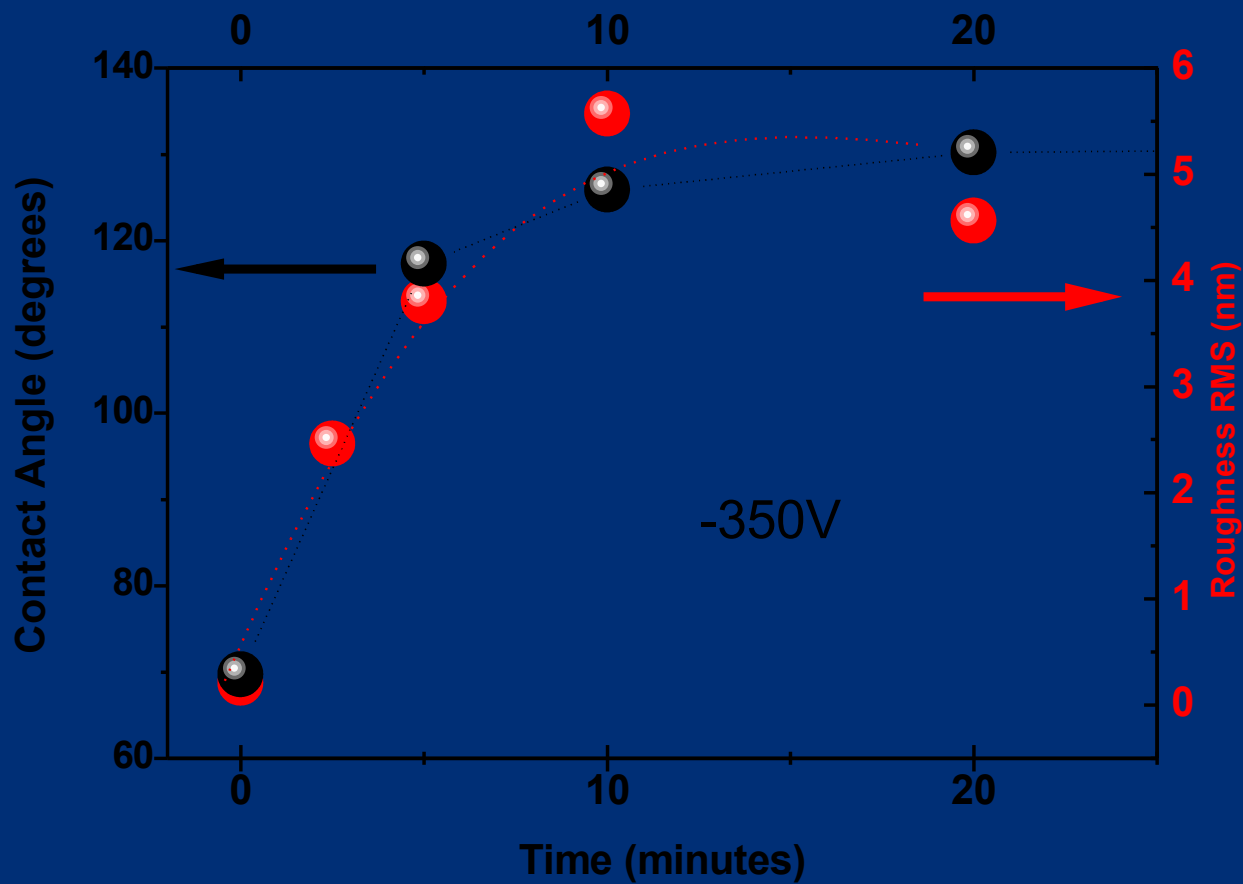
**Tensão de auto-olarização: -100V ô -600V**

**Tempo: 5 minutos a 3 horas**

**M.E.H. Maia da Costa et al, Diamond and Related Materials  
(submitted)**

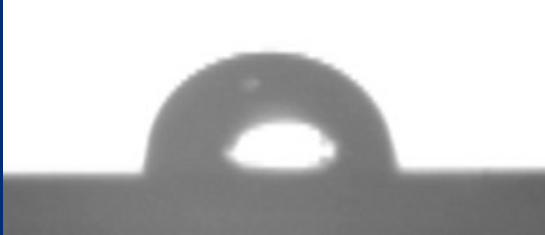


**LEIS Spectra obtained from samples treated at -350V**

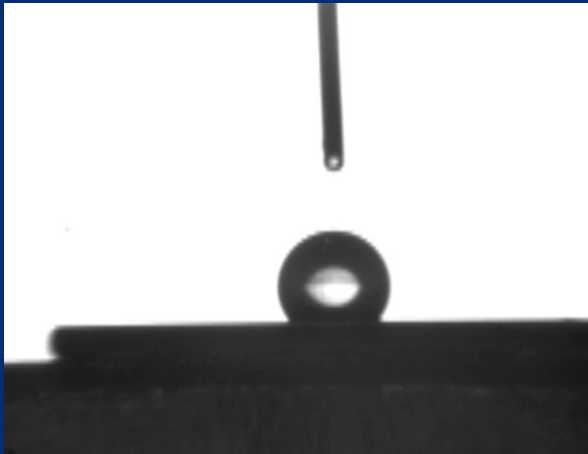


**Contact angle and roughness obtained from samples treated at -350V**

## Revestimentos Hidrofóbicos



**Filmes de carbono-fluor**



**Filmes DLC tratados  
por plasma de CF<sub>4</sub>**

## Nanotubo de carbono

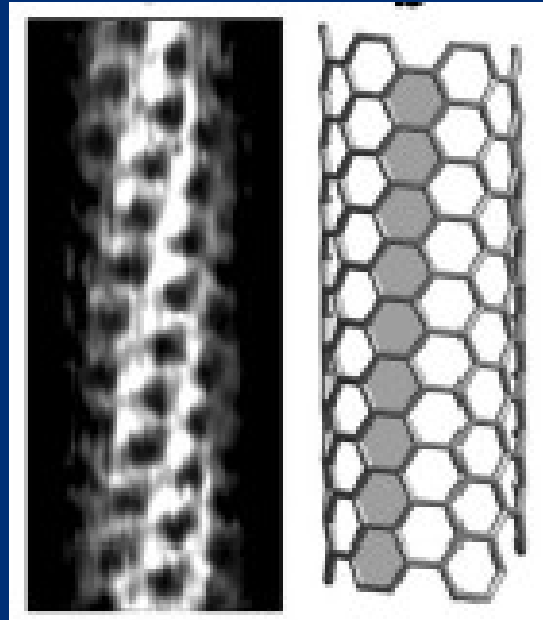
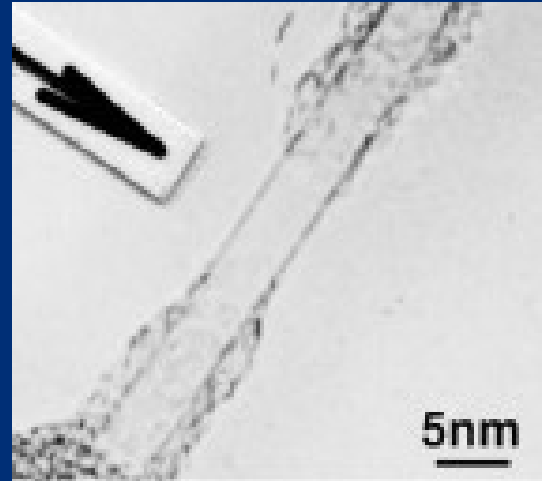
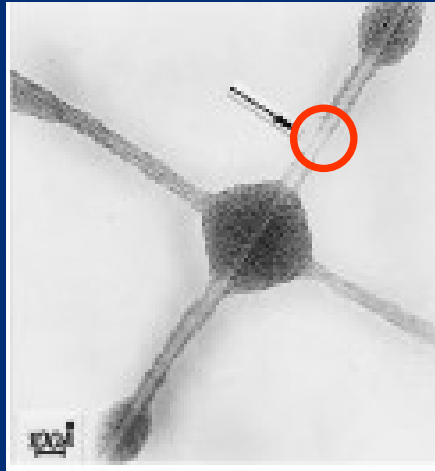


Imagem obtida por STM



## Carbono amorfo

Fibras de carbono produzidas por pirólise de benzeno e ferroceno a 1000o C.

A. Oberlin, M. Endo, T. Koyama, J. Cryst. Growth 32 (1976)  
335

**1985: Descoberta dos fullerenos; H.W. Kroto, J.R. Heath, S. C. O. Brein, R.E. Smaley, Nature 318 (1985) 162.**



**Paredes múltiplas  
(MWNT)**

**Parede simples  
Single wall  
(SWNT)**

**1991: Observação dos nanotubos  
de carbono *multi-wall* por S. Ijima,  
Nature 354 (1991) 56.**

# Propriedades elétricas

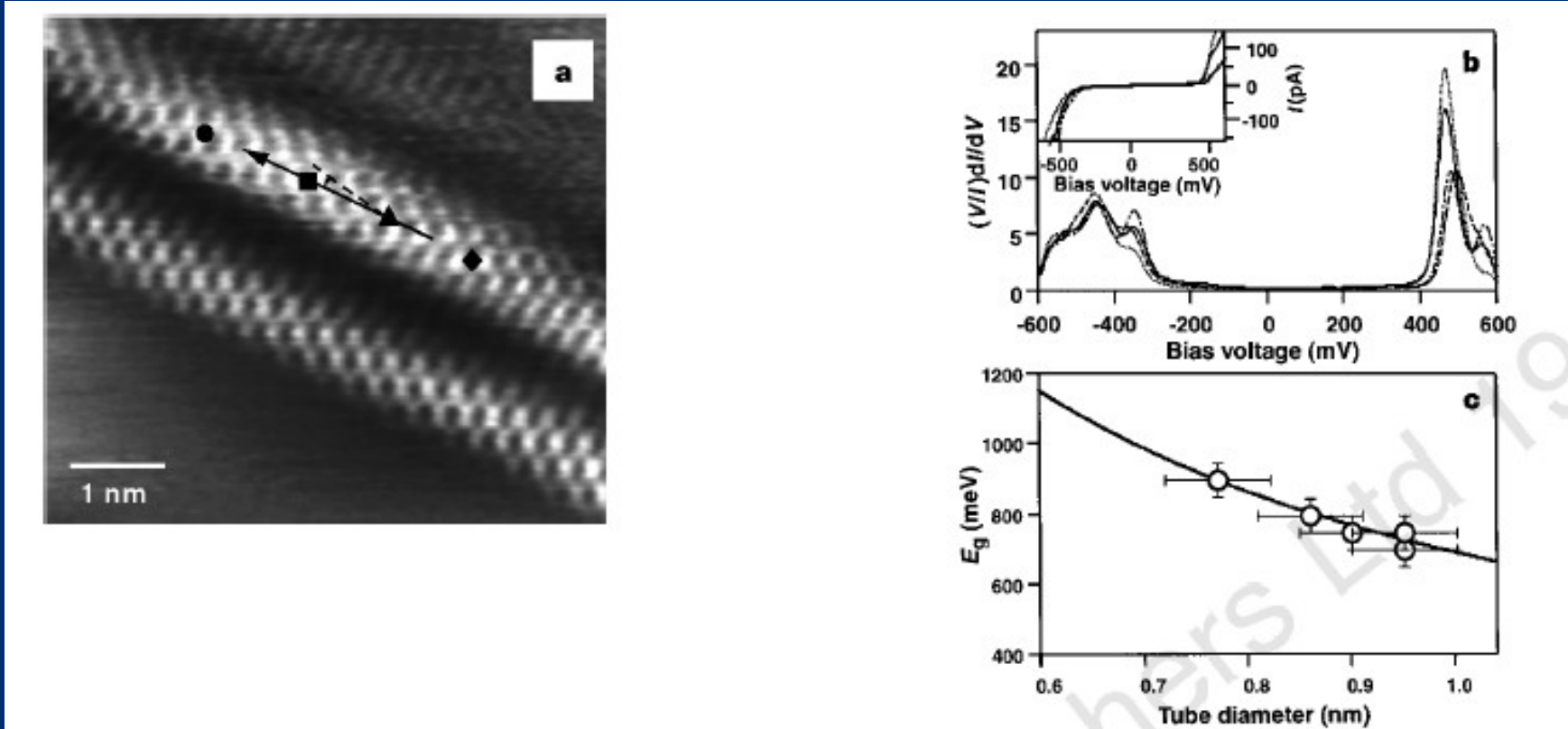


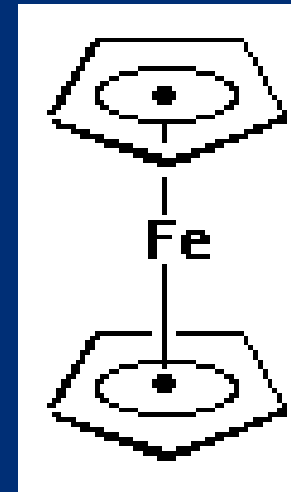
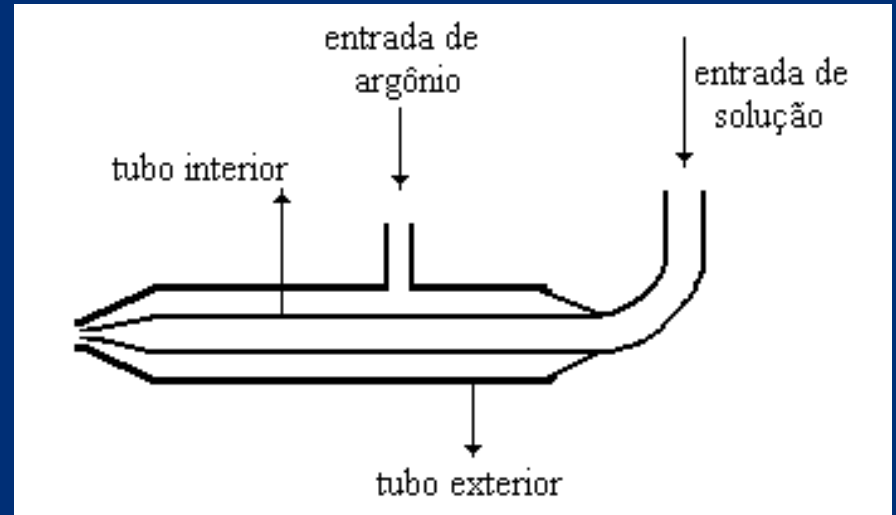
Imagem de nanotubo semicondutor isolado em uma superfície de Au, condutância,  $E_g$  de energia em função do diâmetro do tubo.

# Desafio:

**Produzir nanotubos de modo controlado:**

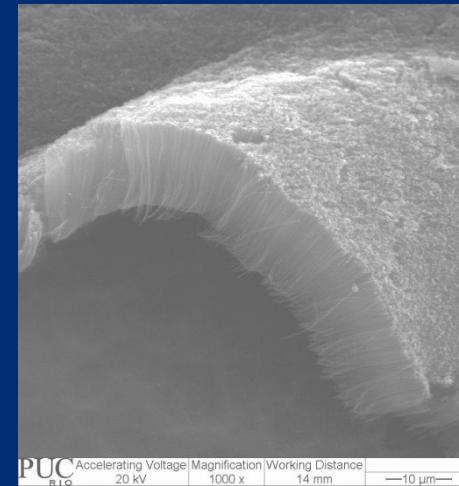
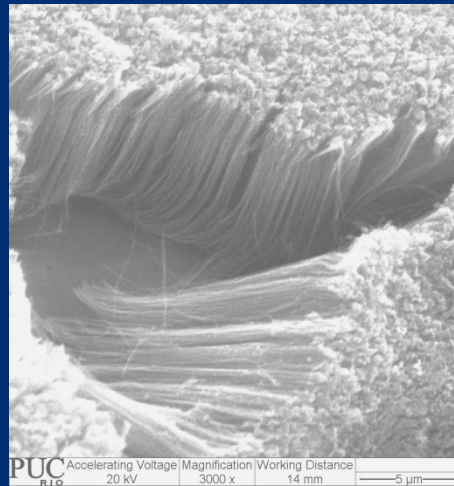
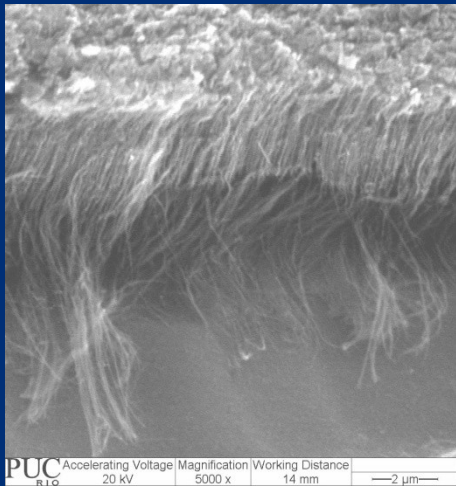
- diâmetro.
- semicondutores ou metálicos.
- dopagem (tipo n com N e tipo p com B).

# Spray pirólise

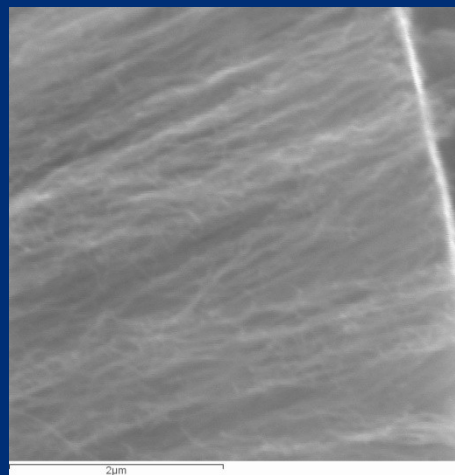
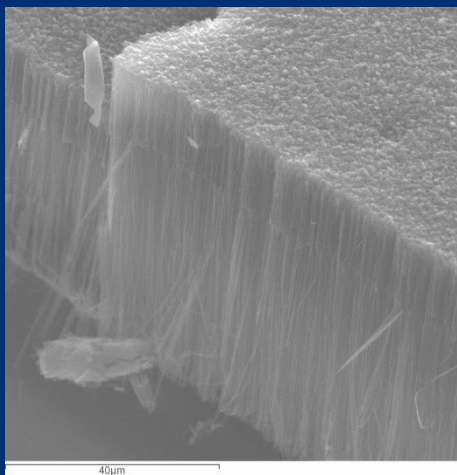


# Tolueno e ferroceno

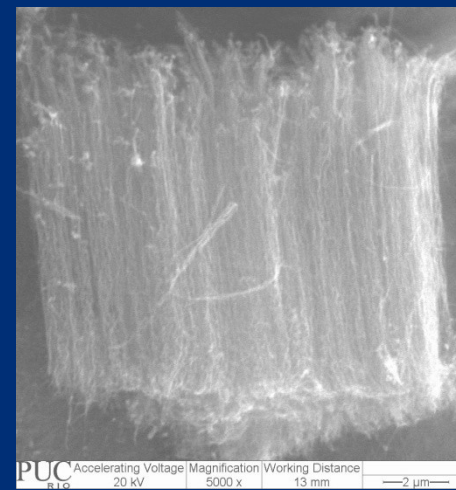
## Antes do centro do forno



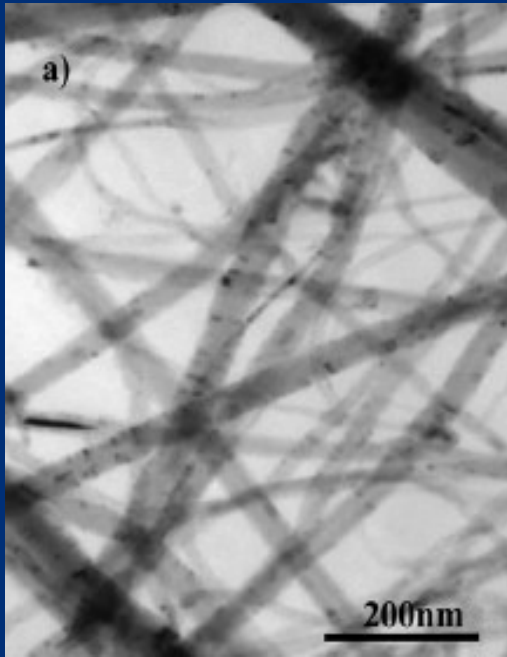
## No centro



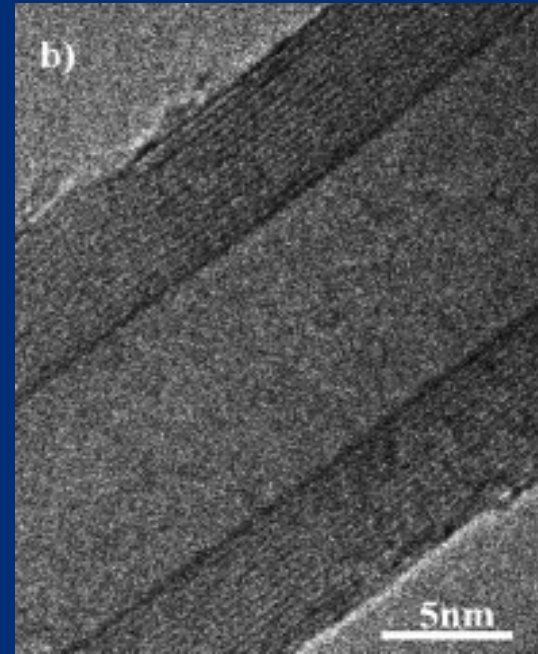
## Depois do centro



## Nanotubos de parede múltipla

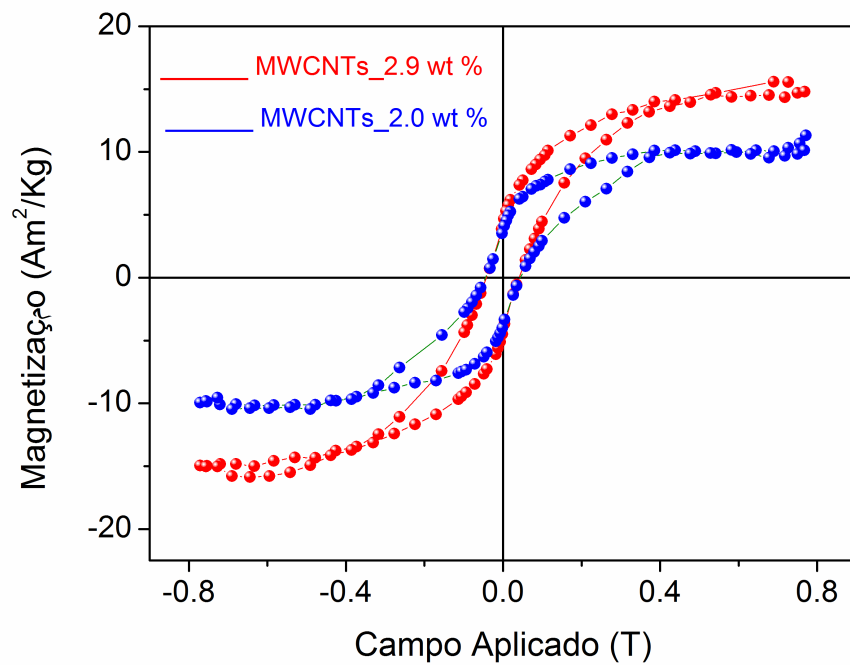
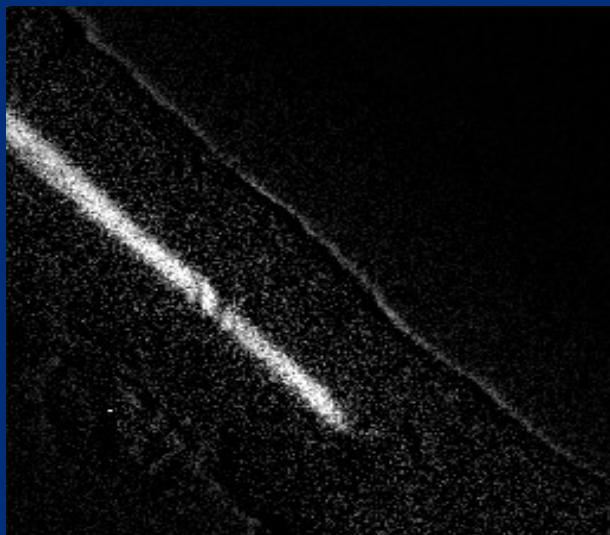


**TEM**



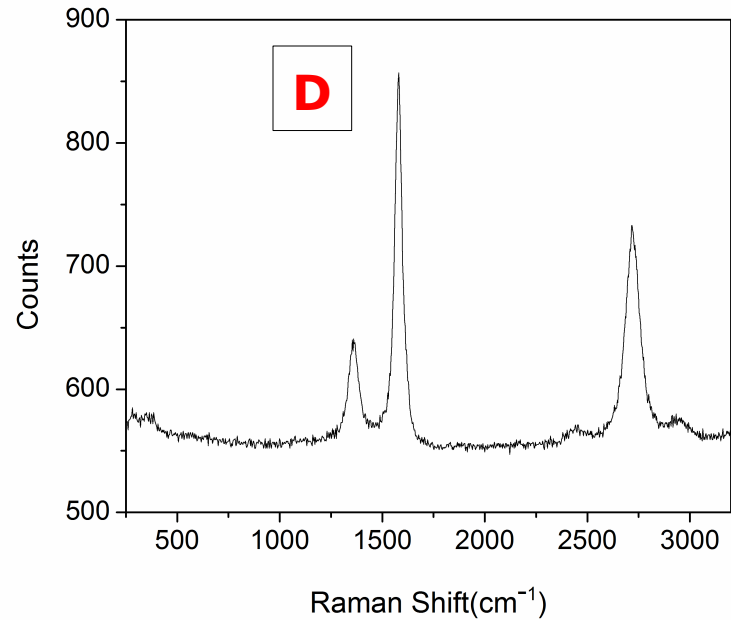
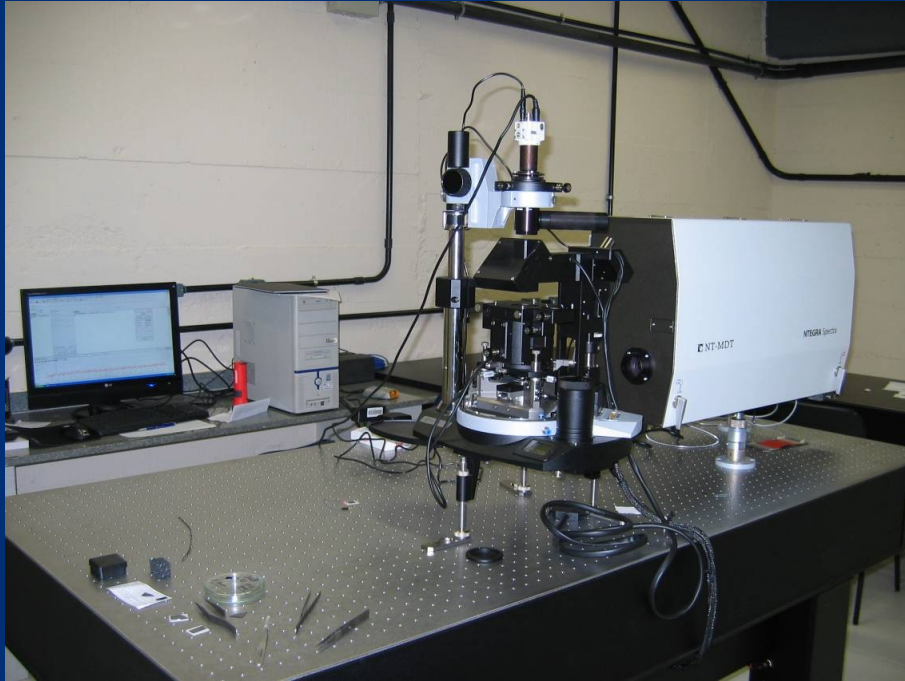
**HRTEM**

**Precursores: ferroceno e tolueno (C<sub>7</sub>H<sub>8</sub>)  
Temperatura: 800°C**



Fe

G

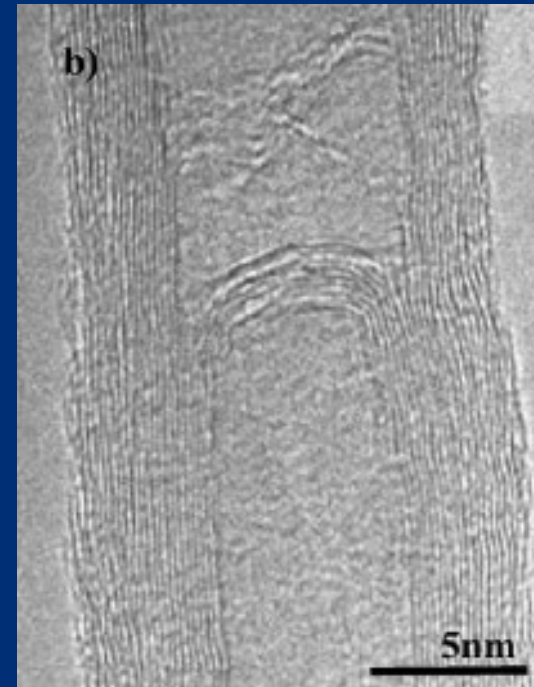


**Espectro Raman de um MWNT depositado por spray-pirólise a partir do tolueno e obtido no Raman-AFM da NT-MDT**

## Nanotubos CN –paredes múltiples



**TEM**

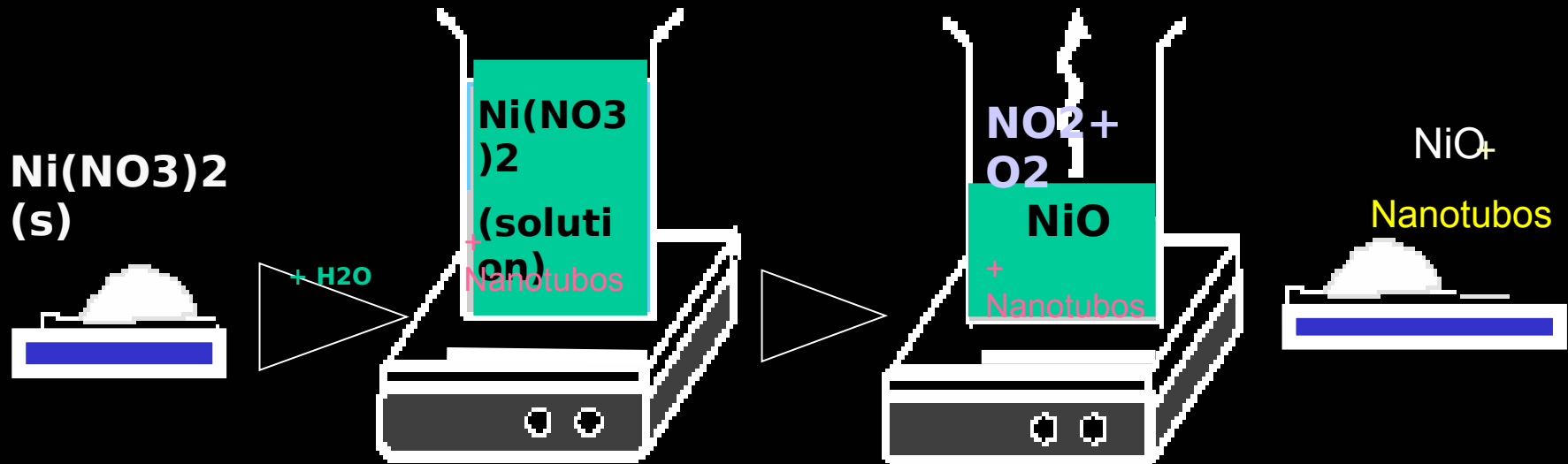


**HRTEM**

**Precursores: ferroceno e benzilamina (C<sub>7</sub>H<sub>9</sub>N)**  
**Temperatura: 850oC**

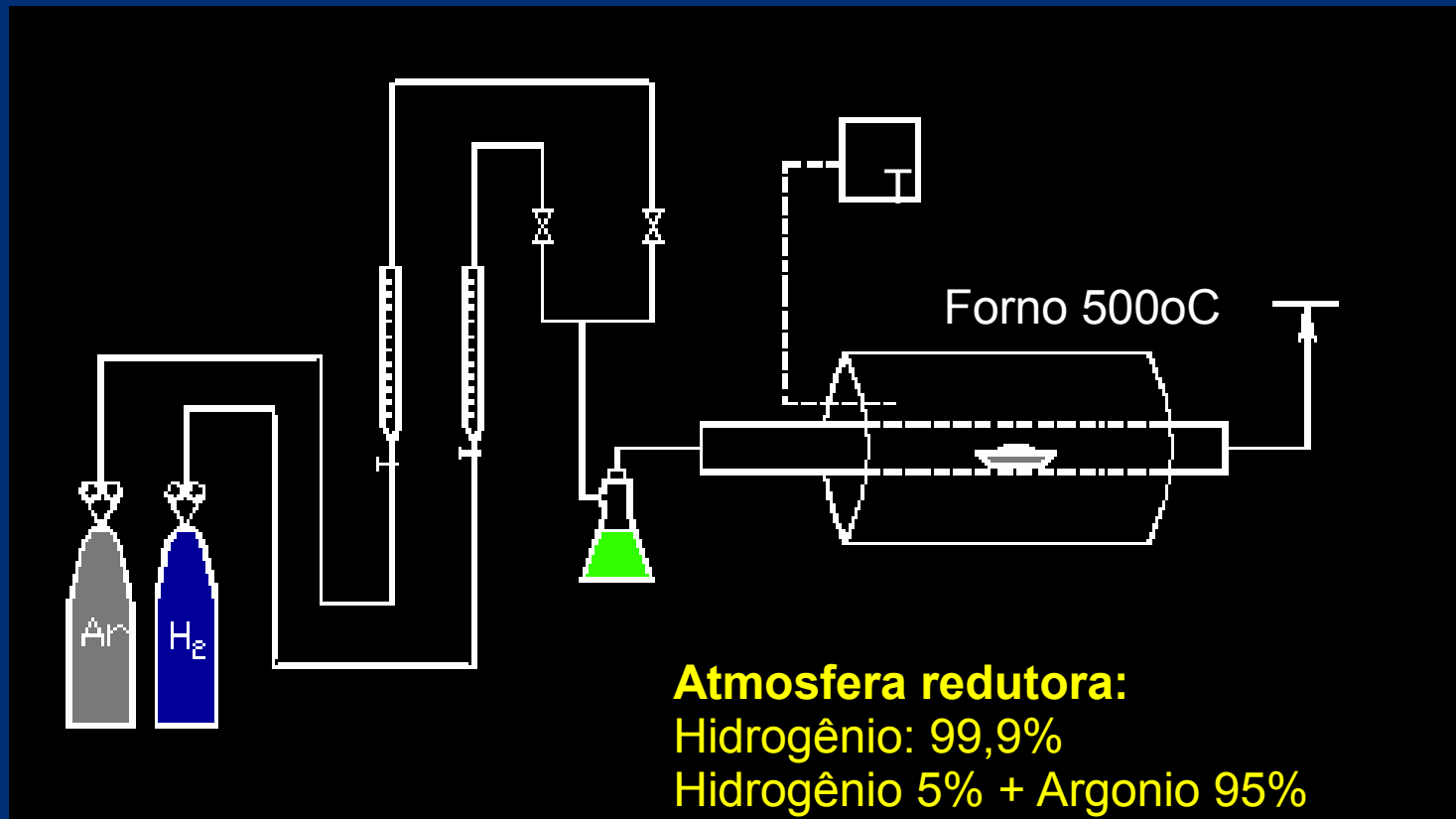
## Decoração com nanopartículas metálicas:

1) dissociação de  $\text{Ni}(\text{NO}_3)_2$  na presença de MWNT para a síntese de nanopartículas de  $\text{NiO}$ .

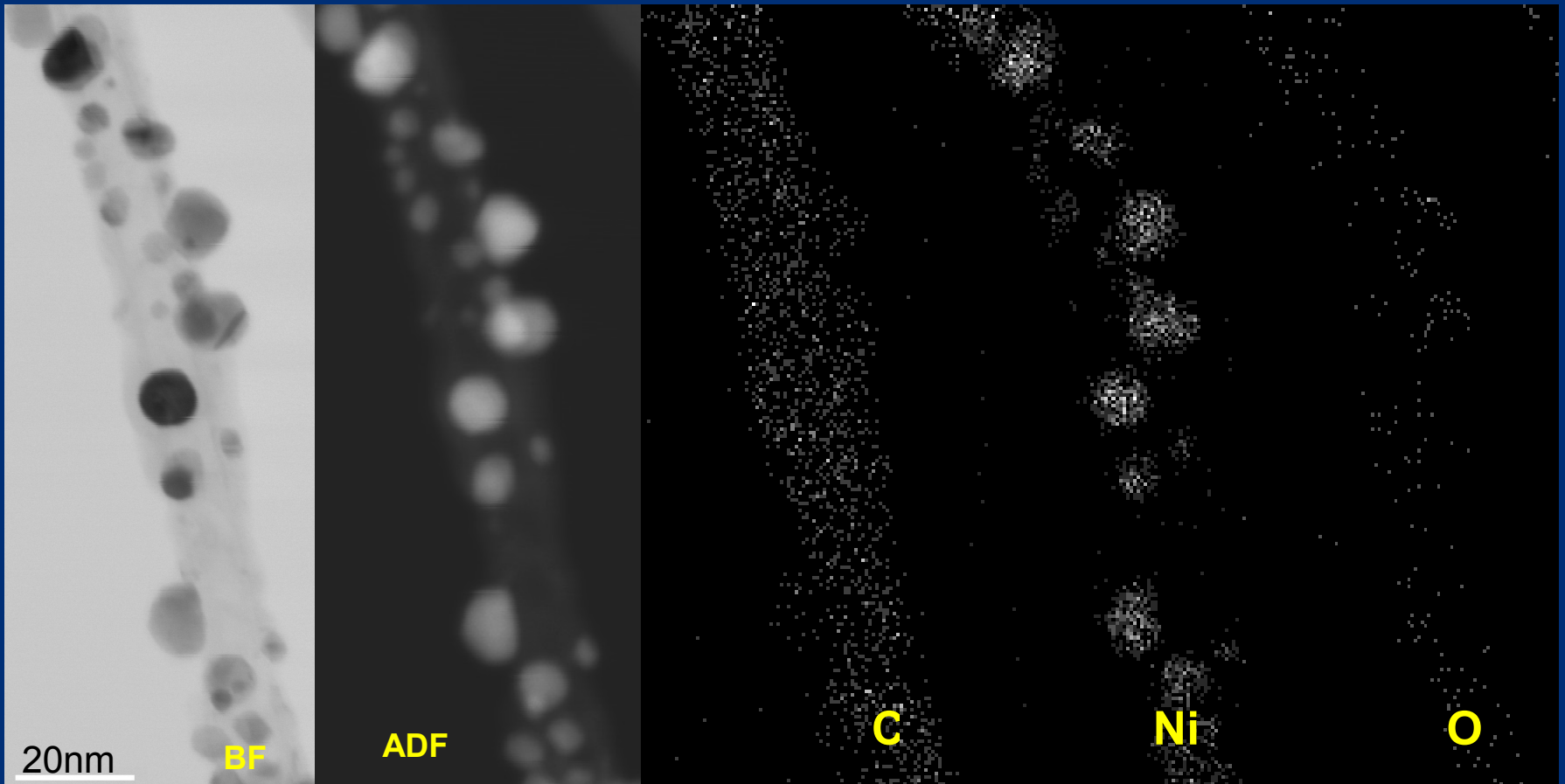


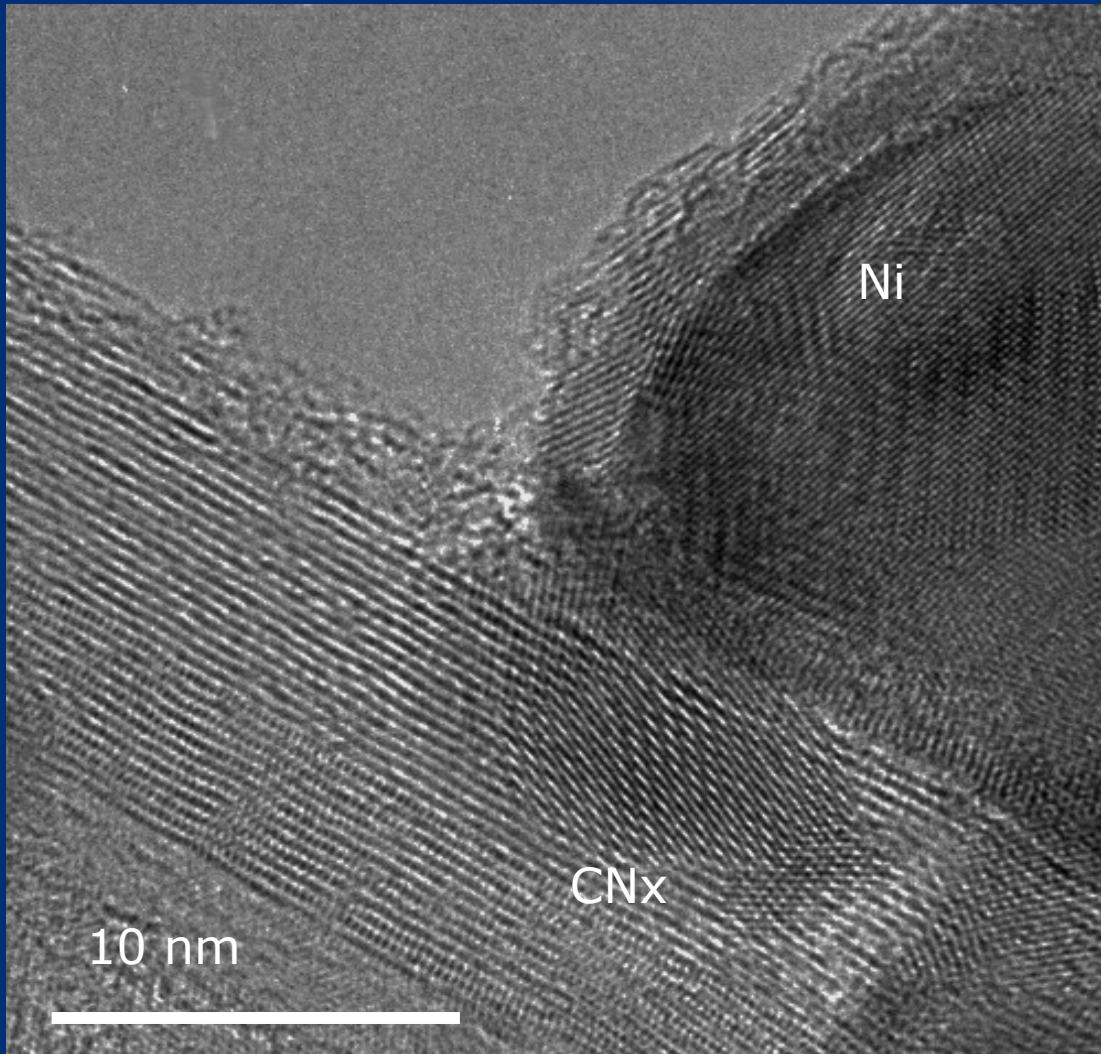
**Nanotubos**

## 2) Arranjo para redução de óxidos:



# STEM, medidas feitas no Arizona

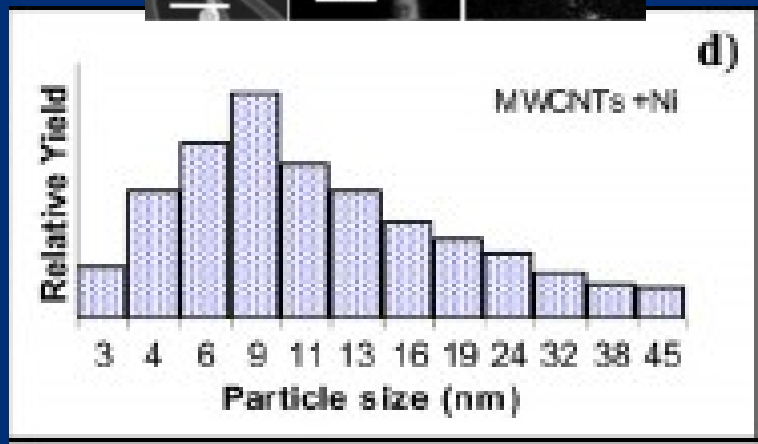
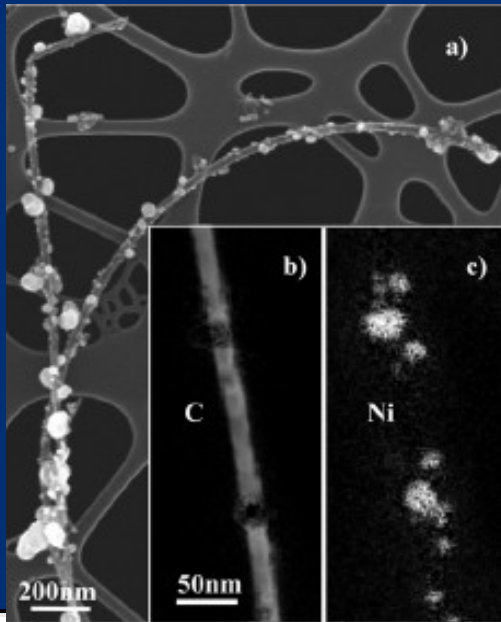




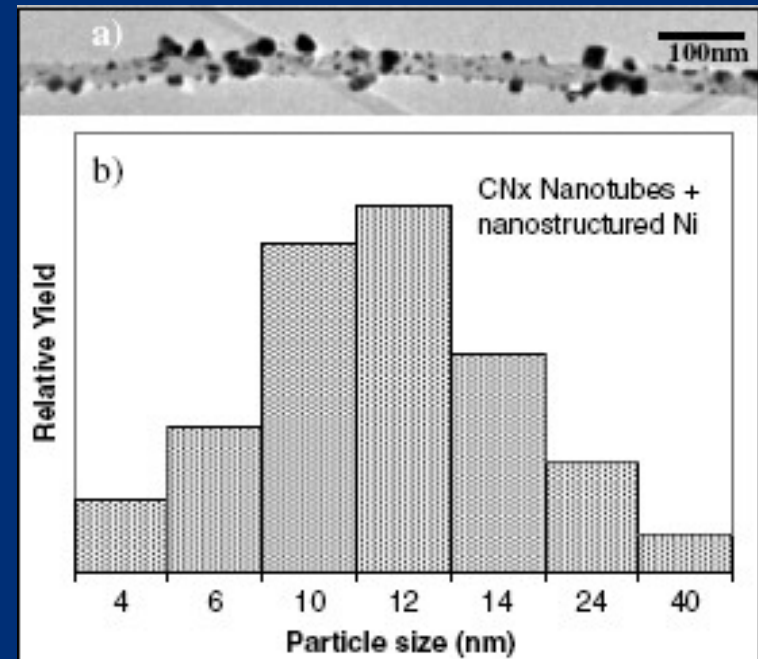
**HREM**

**Imagem  
obtida em um  
TEM JEOL  
4000EX  
operando a  
400kV.**

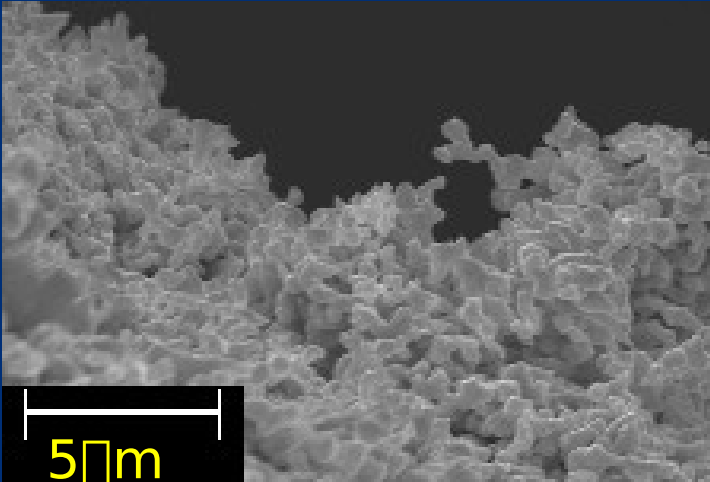
## MWNT



## CNx nanotubos

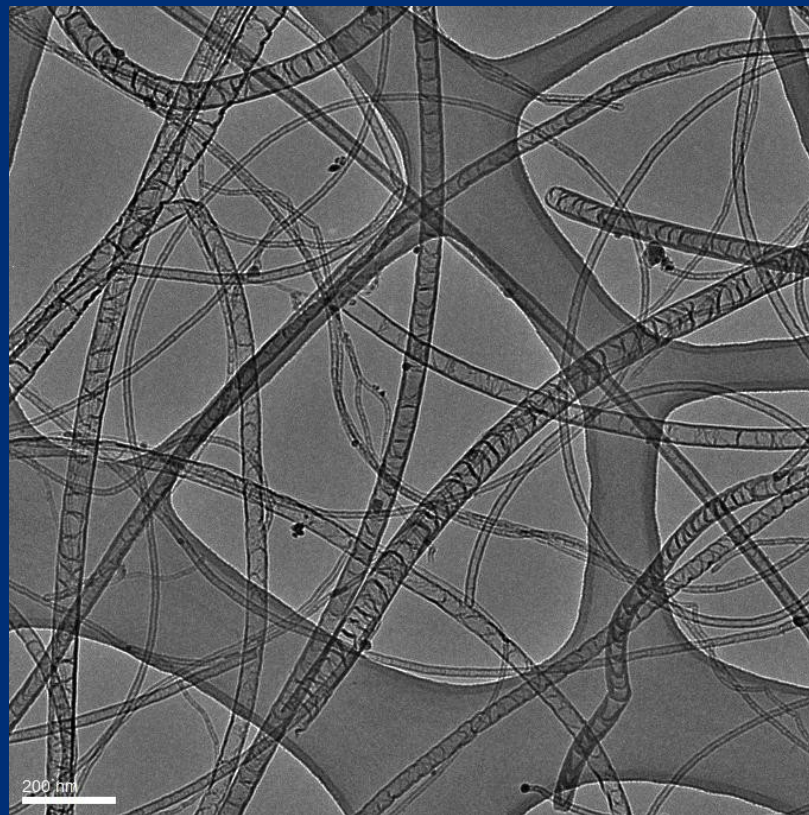


# Pastilhas MWNT-Níquel

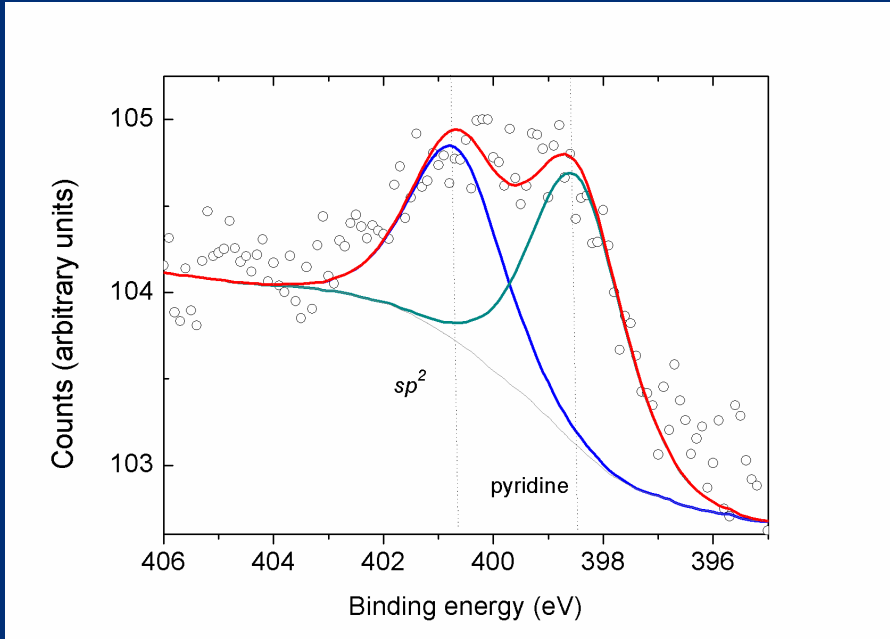


MEV dos pellets de Ni + CNT

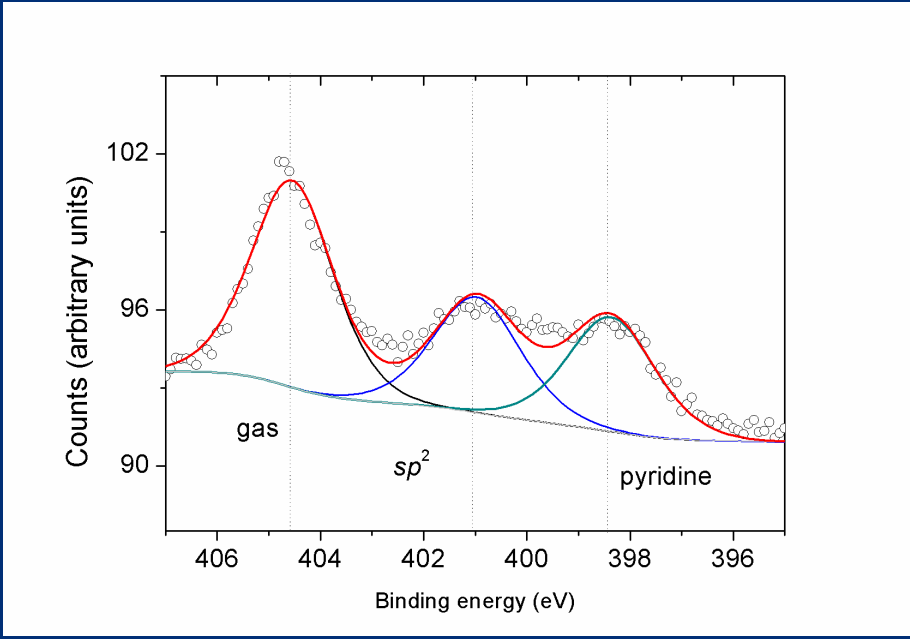
**Análise por TEM de MWNT usando acetonitrila como precursor à temperatura de 850f C**



# Análise por XPS de MWNT usando tolueno e acetonitrila como precursores a temperatura de 850°C

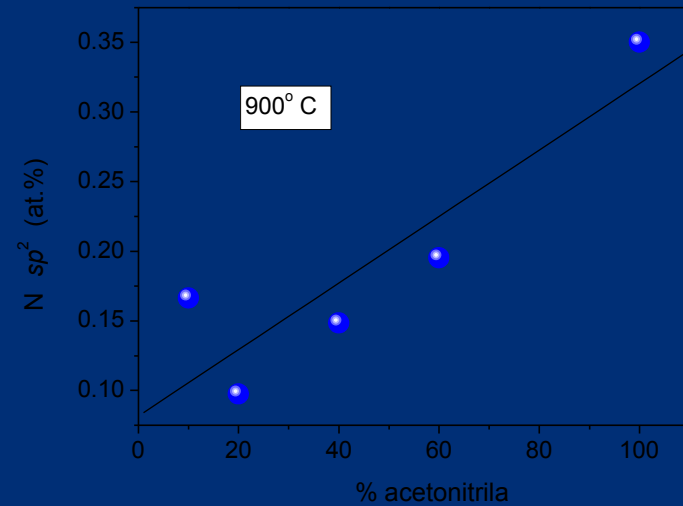
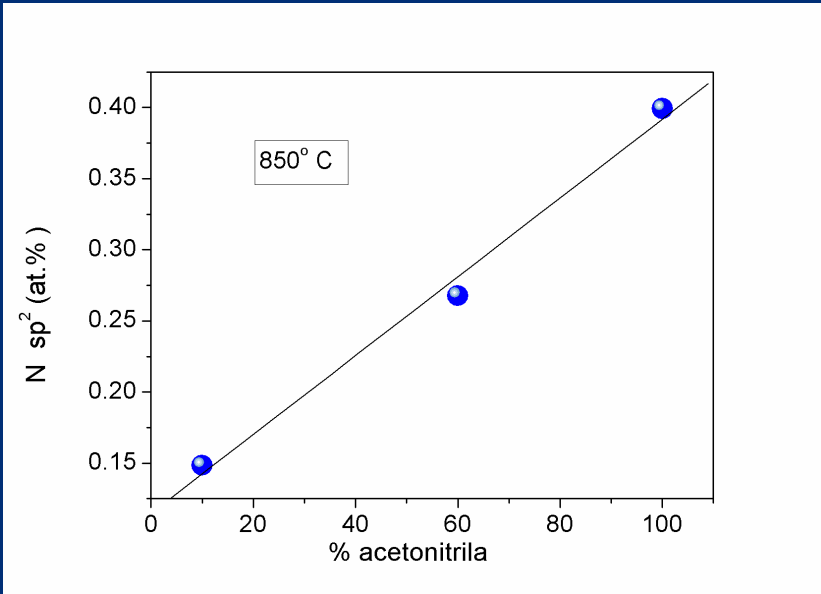


**10% acetonitrila**



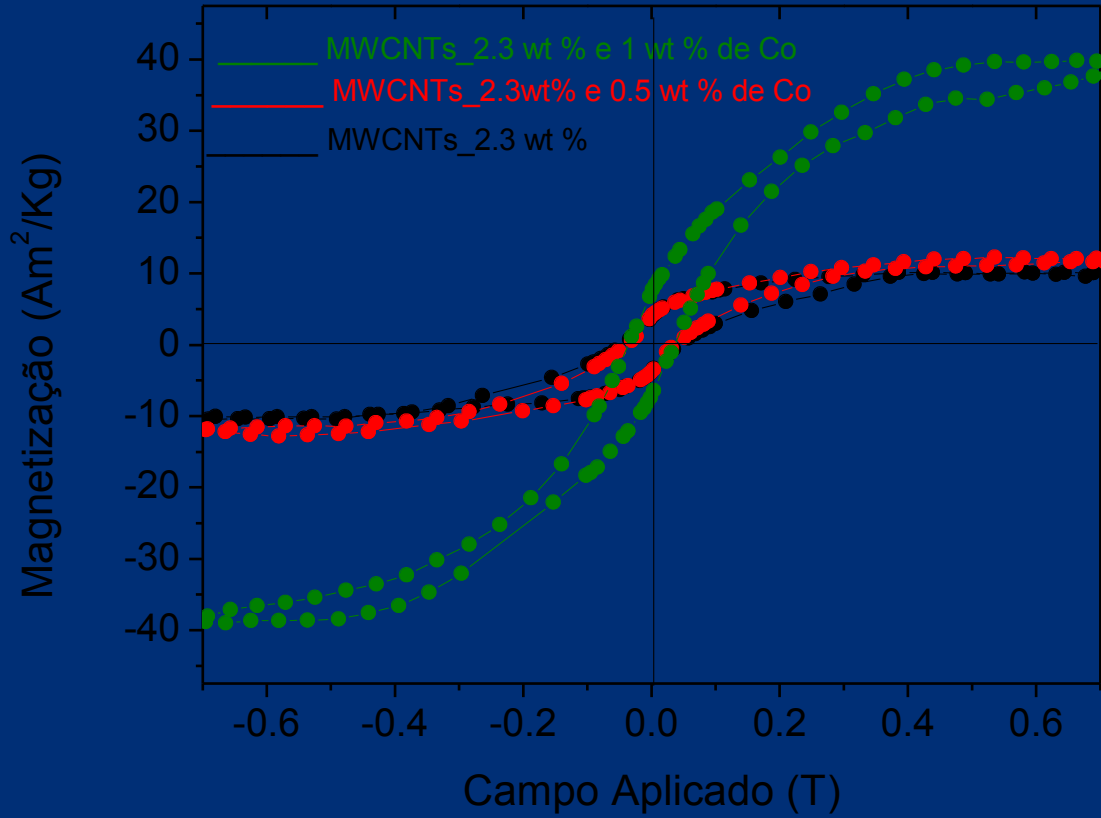
**100% acetonitrila**

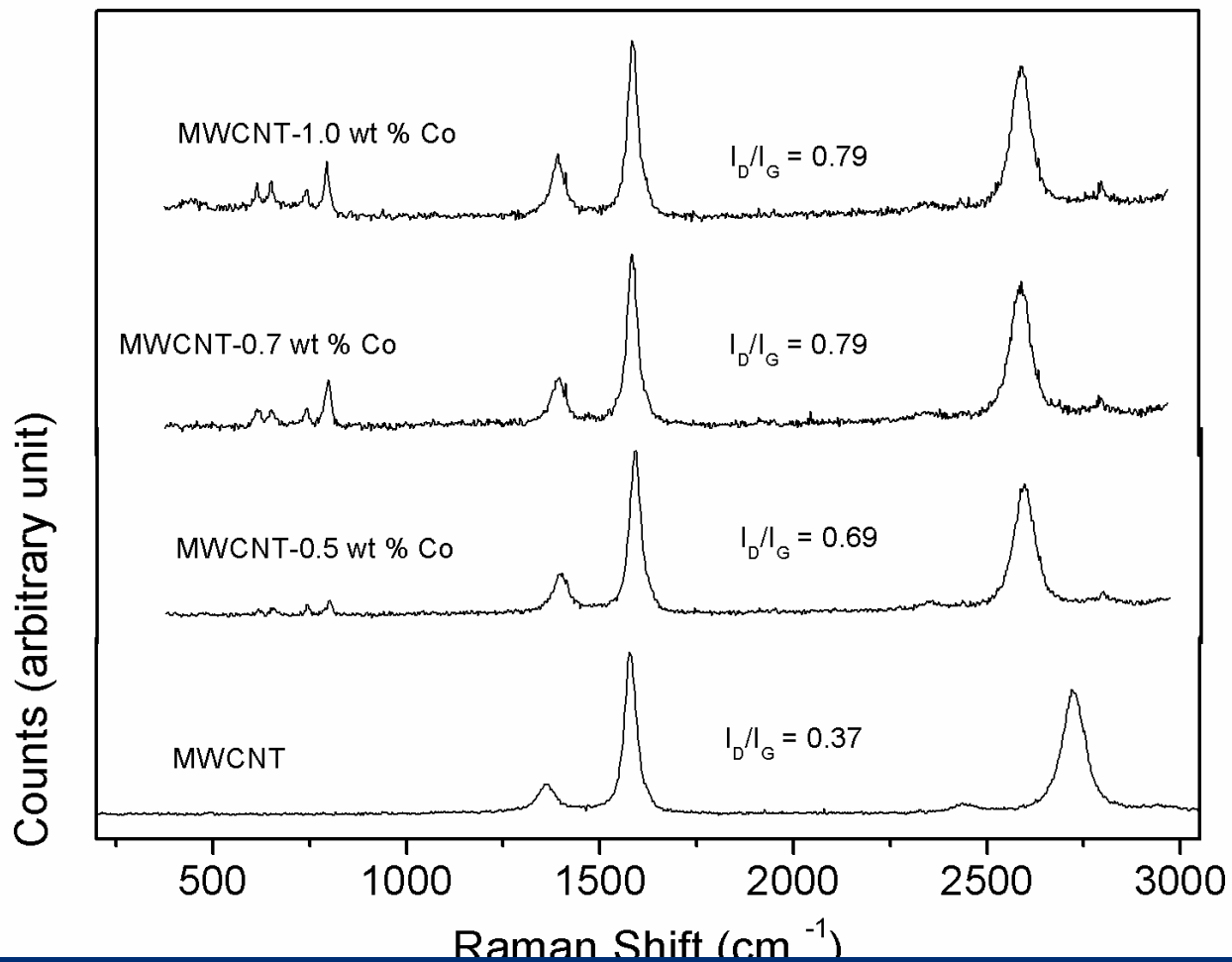
# Análise por XPS de MWNT usando tolueno e acetonitrila como precursoros

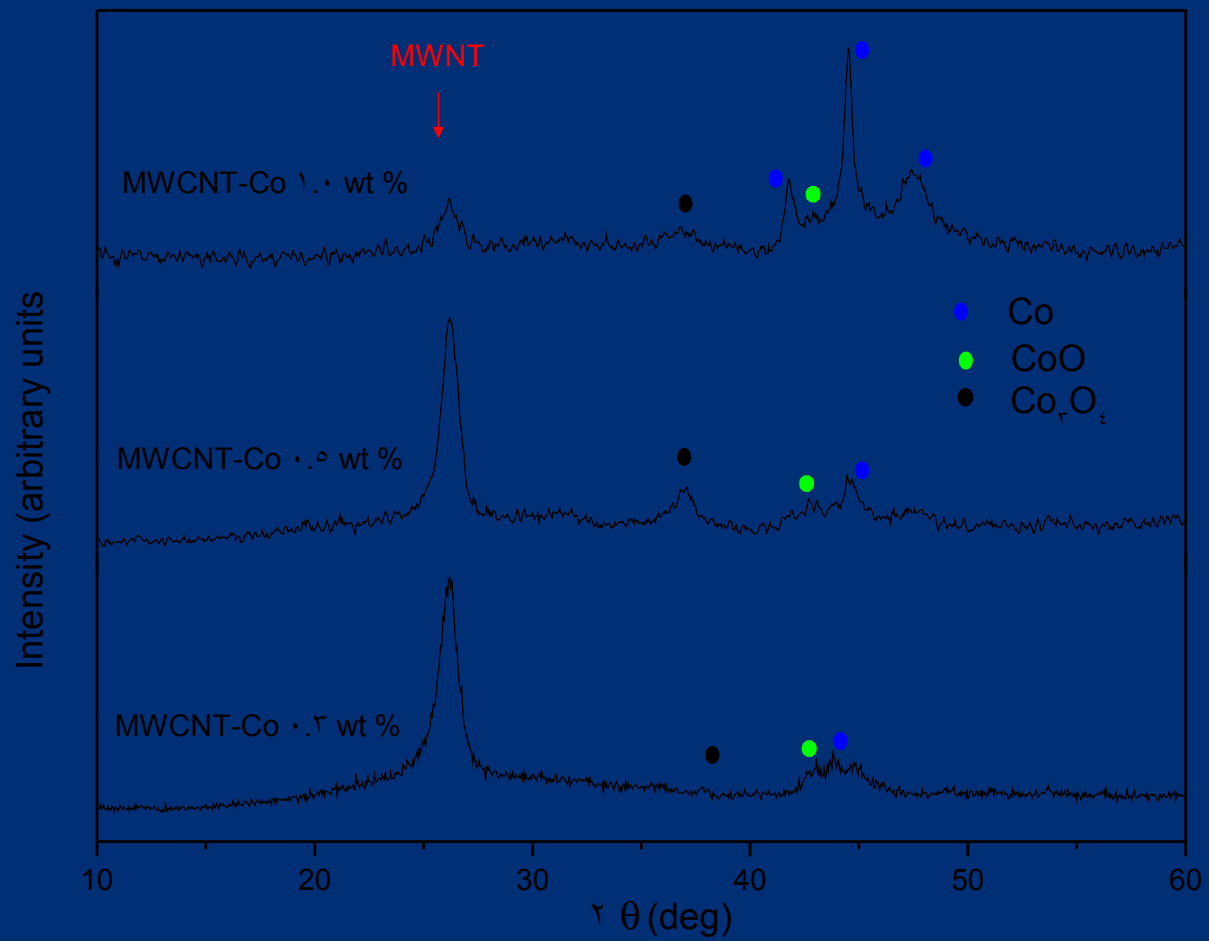


**100% acetonitrila**

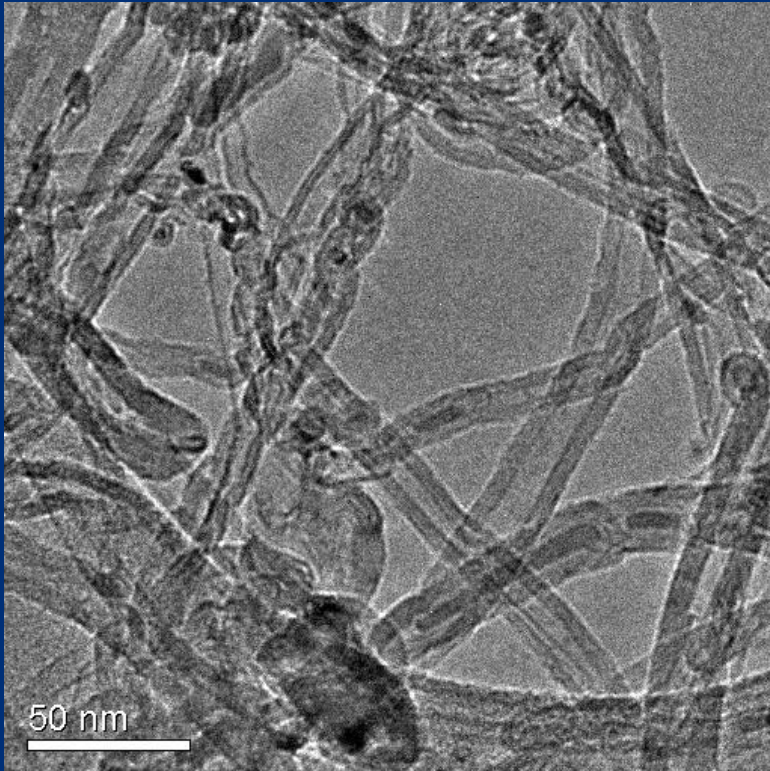
# Nanotubos funcionalizados com Cobalto



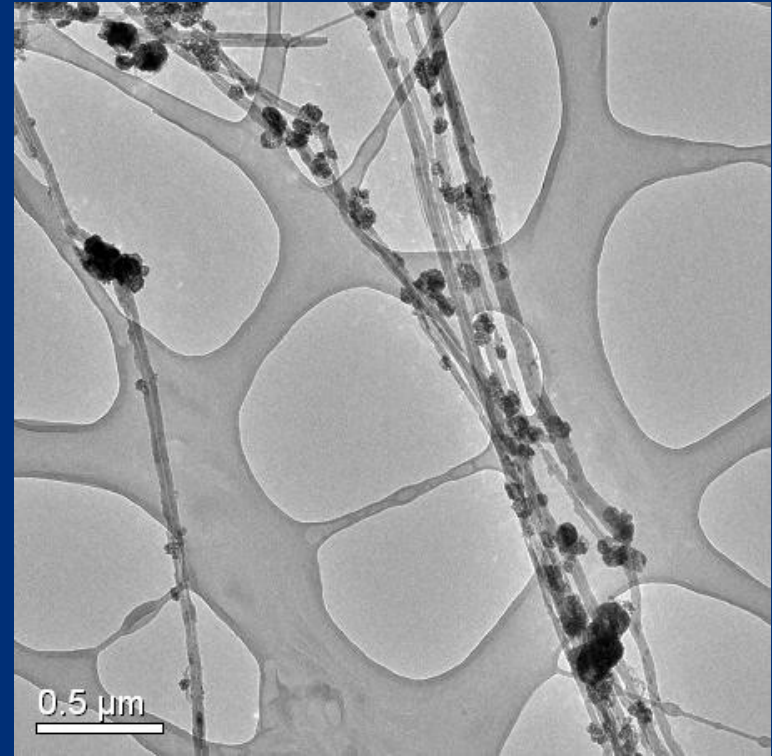




# TEM measurements

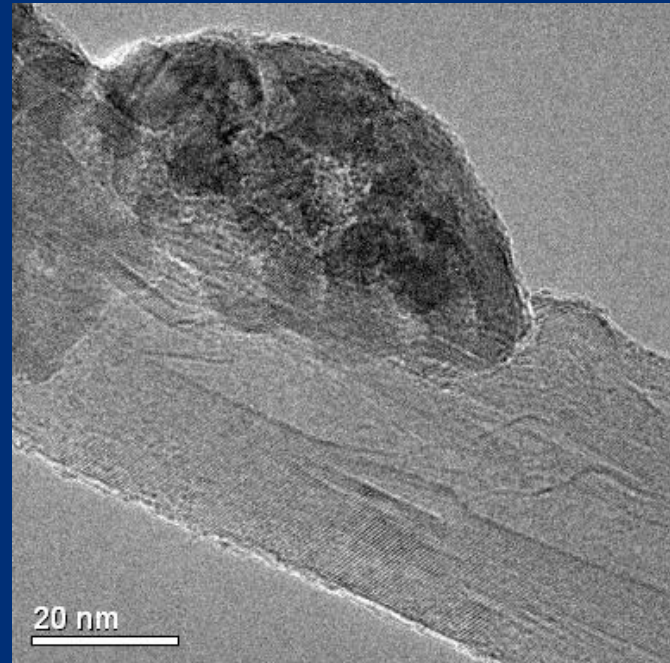
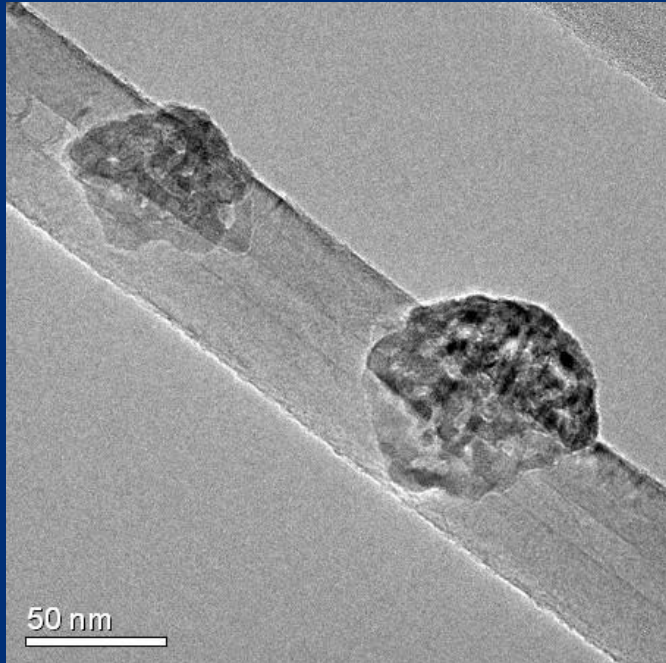


**MWNT**



**MWNT com partículas de Co**

**damage**



**MWCNT-Co 0.5 wt %**

## Perspectivas na PUC-Rio

**Com a chegada do FEG-SEM teremos uma boa infra-estrutura para trabalhar com materiais nanoestruturados: XPS-LEIS-Auger, AFM, STM, AFM-Raman, nanoindentador, preparação de amostras.**

- Revestimentos superhidrofóbicos.
- dopagem de nanotubos (sensores ?).
- Funcionalização com nanopartículas metálicas.

Obrigado

